

**KOMPOZİT SANDİVİC PANEL ÜRETİMİ VE ÜRETİLEN**

**PANELLERİN HASAR KRİTERLERİNE GÖRE**

**KARŞILAŞTIRILMASI**

**Uğur ÖZEN**

**Yüksek Lisans Tezi**

**Makine Mühendisliği Anabilim Dalı**

**Danışman: Dr. Öğr. Üyesi İbrahim Savaş DALMIŞ**

**2018**

T.C.

NAMIK KEMAL ÜNİVERSİTESİ  
FEN BİLİMLERİ ENSTİTÜSÜ

**YÜKSEK LİSANS TEZİ**

**KOMPOZİT SANDİVİC PANEL ÜRETİMİ VE ÜRETİLEN  
PANELLERİN HASAR KRİTERLERİNE GÖRE  
KARŞILAŞTIRILMASI.**

**Uğur ÖZEN**

**MAKİNE MÜHENDİSLİĞİ ANABİLİM DALI**

**DANIŞMAN: Dr. Ögr. Üyesi İBRAHİM SAVAŞ DALMIŞ**

**TEKİRDAĞ – 2018**

**Her hakkı saklıdır.**

Dr. Öğr. Üyesi İbrahim Savaş DALMIŞ danışmanlığında, Uğur ÖZEN tarafından hazırlanan “Kompozit sandviç panel üretimi ve üretilen panellerin hasar kriterlerine göre karşılaştırılması” isimli bu çalışma aşağıdaki jüri tarafından Makine Mühendisliği Anabilim Dalı’nda Yüksek Lisans tezi olarak oy birliği ile kabul edilmiştir.

Jüri Başkanı: Dr. Öğr. Üyesi İbrahim Savaş DALMIŞ

*İmza:*

Üye: Dr. Öğr. Üyesi Sait Özmen ERUSLU

*İmza:*

Üye: Dr. Öğr. Üyesi Olcay EKŞİ

*İmza:*

Fen Bilimleri Enstitüsü Yönetim Kurulu adına

Prof. Dr. Fatih KONUKCU

**Enstitü Müdürü**

## ÖZET

Yüksek Lisans Tezi

### KOMPOZİT SANDİVİC PANEL ÜRETİMİ VE ÜRETİLEN PANELLERİN HASAR KRİTERLERİNE GÖRE KARŞILAŞTIRILMASI.

**Uğur ÖZEN**

Tekirdağ Namık Kemal Üniversitesi

Fen Bilimleri Enstitüsü

Makine Mühendisliği Anabilim Dalı

Danışman: Dr. Öğr. Üyesi İBRAHİM SAVAŞ DALMIŞ

Bu çalışmada, sandviç kompozit panellerin eğilme ve basma rıjitliğini artttırmak amacıyla farklı çekirdek yapılı kompozit paneller incelenmiştir. Piramit, Konik, Federli-Konik olmak üzere üç tip çekirdek yapısı incelenmiştir. Bu panel yapıları yumurta kutu yapımından esinlenerek tasarlanmıştır. Kompozit paneller vakum infüzyon yöntemi kullanılarak üretilmiştir. Çekirdek ve plaka üretiminde cam elyaf kumaş ve epoksi reçine ve bunları birbirine yapıştırmak için epoksi bazlı yapıştırıcı kullanılmıştır. Üretilen kompozit plakaların eğilme dirençleri birbirlerine çok yakın olmakla birlikte piramit çekirdekli panelin eğilme direnci diğerlerine göre daha yüksek çıkmıştır. Basma testinde ise federli-konik çekirdek yapılı kompozit panelin basma rıjitliği ve dayanımı diğer panellere oranla yaklaşık iki kat daha fazladır. Sonlu elemanlar yöntemi kullanılarak üç nokta eğme testi modellenmiştir. Modelde Tsaih hasar kriteri kullanılarak hasar bölgeleri belirlenmiş ve test sonuçları ile karşılaştırılmıştır. Sonuçlar incelendiğinde, model hasar bölgelerini yeterli yakınlıkta bulmuştur.

**Anahtar kelimeler:** Kompozit panel, Yumurta kutusu, Sandviç yapılar, Vakum infüzyon yöntemi

**2018, 48 Sayfa**

## **ABSTRACT**

MSc. Thesis

# **MANUFACTURING OF COMPOSITE SANDWICH PANEL, AND COMPARISON OF THE PANELS MANUFACTURED ACCORDING TO FAILURE CRITERIA.**

**Uğur ÖZEN**

Namık Kemal University in Tekirdağ  
Graduate School of Natural and Applied Sciences  
Department of Mechanical Engineering

Supervisor: Dr. Öğr. Üyesi İBRAHİM SAVAŞ DALMIŞ

In this study, composite panels with different core structures were investigated to increase the bending and compression stiffness of the panels. Three type of core structures were examined. These were pyramid, conical, and supported-conical. These panels were designed with inspiration from the egg box. Composite panels were produced using vacuum infusion method. Glass fiber fabric and epoxy resin were used to the manufacture cores and the face sheets, and epoxy-based adhesive was used to adhere the core and the facesheets. The bending resistance of the composite panels with different cores was very close to each other, but the bending resistance of the pyramidal core panel was higher than the others. In the compression test, the compressive strength and rigidity of the composite panel with supported conical core structure was about twice that of the other panels. The three-point bend test was modeled using the finite element method. Damage zones were determined using the Tsaih damage criterion in the model and compared with the test results. When the results were examined, the model found the damage areas close enough.

**Keywords:** Composite panel, Egg box, Sandwich structures, Vacuum infusion method

**2018, 48 Sayfa Pages**

## İÇİNDEKİLER

	Sayfa No
<b>ÖZET .....</b>	<b>i</b>
<b>ABSTRACT .....</b>	<b>ii</b>
<b>İÇİNDEKİLER .....</b>	<b>iii</b>
<b>ÇİZELGE DİZİNİ .....</b>	<b>iv</b>
<b>ŞEKİL DİZİNİ .....</b>	<b>v</b>
<b>ÖNSÖZ .....</b>	<b>vii</b>
<b>1. GİRİŞ .....</b>	<b>1</b>
1.1. Elyaf Takviyeli Kompozit Plaka Üretimi .....	1
1.1.1. El Yatırma Yöntemi .....	1
1.1.2. Sürekli kalıplama Yöntemi .....	1
1.1.3. Vakum İnfüzyon Yöntemi .....	2
1.1.4. Püskürtme Yöntemi .....	2
1.1.5. Santrifüj Kalıplama Yöntemi .....	2
1.2. Sandviç Kompozit Panel .....	2
<b>2. LİTERATÜR ÖZETİ .....</b>	<b>6</b>
<b>3. MATERİYAL ve YÖNTEM .....</b>	<b>12</b>
3.1. Materyal .....	12
3.1.1. Eğilme Test Düzeneği .....	12
3.1.1.1. Test Düzeneği Ana Elemanları .....	12
3.1.2. Basma Test Düzeneği .....	13
3.1.3. Basma ve Eğilme Testi Makinası .....	13
3.1.4. Vakum İnfüzyon Üretim Elemanları .....	14
3.1.5. Kompozit Çekirdek Kalıbı .....	15
3.1.6. Cam Elyaf Malzeme .....	16
3.2. Yöntem .....	16
3.2.1. Vakum İnfüzyon Yöntemi İle Plaka Üretimi .....	16
3.2.2. Kompozit Çekirdek Üretime: .....	21
3.2.3. Üretilen Kompozit Çekirdek Formları: .....	22
3.2.4. Üretilen Çekirdeklerein Kalınlık Dağılımları .....	25
3.2.5. Kompozit Panel Üretime: .....	27
3.2.6. Eğilme Testleri .....	28
3.2.7. Basma Testleri .....	28
3.2.8. Sayısal Analiz .....	29
<b>4. BULGULAR ve TARTIŞMA .....</b>	<b>32</b>
4.1. Eğilme Test Sonuçları .....	32
4.2. Çekirdeklereki Eğilme Test Sonuçları .....	35
4.3. Basma Test Sonuçları .....	39
4.4. Analiz Sonuçları .....	43
<b>5. SONUÇ ve ÖNERİLER .....</b>	<b>45</b>
<b>6. KAYNAKLAR .....</b>	<b>46</b>
<b>7. ÖZ GEÇMİŞ .....</b>	<b>48</b>

## **ÇİZELGE DİZİNİ**

**Sayfa No**

Çizelge 2.1. Hexion MGS L285-H285 reçine sisteminin mekanik özelliklerı.....	15
Çizelge 2.2. Quadriaxial cam elyaf fiber malzeme özelliklerı .....	16
Çizelge 3.1. A-A kesiti çekirdek kalınlık ölçüleri.....	26
Çizelge 3.2. B-B kesiti çekirdek kalınlık ölçüleri .....	26
Çizelge 3.3. Quadriaxial fiber epoxy sistem katmanın mekanik özelliklerı (Uzal ve arkadaşları, 2018) .....	31

## **ŞEKİL DİZİNİ**

	<b>Sayfa No</b>
Şekil 1. Kompozit Sandviç Panel .....	3
Şekil 2. Üç nokta eğilme test düzeneği.....	12
Şekil 2.1. Üç nokta eğilme test düzeneği .....	13
Şekil 2.2. Basma test düzeneği .....	13
Şekil 2.3. Eğilme ve basma test makinası .....	14
Şekil 2.4. Vakum infüzyon hattı şematik gösterimi .....	15
Şekil 2.5 Cam yüzeyine vaks sürülmesi .....	17
Şekil 2.6. Cam elyaf dizilimi .....	17
Şekil 2.7. Sök at kumaşı konulması.....	18
Şekil 2.8. Nylong file konulması .....	18
Şekil 2.9. Vakum bandı yapıştırılması .....	19
Şekil 2.10 Reçine hattı.....	19
Şekil 2.11. Vakum hattı .....	20
Şekil 2.12. Sistemin vakumlamaya hazır hali .....	20
Şekil 3.1. Üretilen diş kompozit çekirdek kalıbı .....	21
Şekil 3.2. Üretilen erkek kompozit çekirdek kalıbı .....	22
Şekil 3.3. Eğilme Testi Piramit Çekirdek Formu .....	23
Şekil 3.4. Basma Testi Piramit Çekirdek Formu .....	23
Şekil 3.5. Eğilme Testi Konik Çekirdek Formu .....	24
Şekil 3.6. Basma Testi Konik Çekirdek Formu.....	24
Şekil 3.7. Eğilme testi piramit konik çekirdek Formu.....	25
Şekil 3.8. Basma testi piramit konik çekirdek Formu .....	25
Şekil 3.9. Üretilen çekirdeklerin kesit görünümü.....	26
Şekil 3.10. Eğilme testi için üretilen paneller.....	27
Şekil 3.11. Basma testi için üretilen paneller .....	27
Şekil 3.12. Eğilme testi.....	28
Şekil 3.13. Basma testi .....	28
Şekil 3.14. Piramit çekirdek yapısının sonlu elemanlar modeli ve sınır koşulları .....	29
Şekil 3.15. Piramit çekirdek yapısının ağ görüntüsü .....	30
Şekil 3.16. Kabukta kullanılan fiber yönelimleri .....	30
Şekil 4.1. Piramit Eğilme için 3 nokta eğilme testi altında yük-deplasman eğrisi .....	32
Şekil 4.2. Konik Eğilme için 3 nokta eğilme testi altında yük-deplasman eğrisi.....	32
Şekil 4.3. Federli Konik Eğilme için 3 nokta eğilme testi altında yük-deplasman eğrisi .....	33
Şekil 4.4. Tüm panellerin 3 nokta eğilme testi altında yük-deplasman eğrileri .....	33
Şekil 4.5. Çekirdekte oluşan yapıştırıcı hatası.....	34
Şekil 4.6. Plakalarda oluşan yapıştırıcı hatası .....	34
Şekil 4.7. Epoksi reçine çekirdek ayrılması .....	35
Şekil 4.8. Piramit çekirdek için 3 nokta eğilme testi altında yük-deplasman eğrisi .....	35
Şekil 4.9. Piramit çekirdekte eğilme testi sonrası oluşan hasar .....	36
Şekil 4.10. Konik Eğilme için 3 nokta eğilme testi altında yük-deplasman eğrisi .....	36
Şekil 4.11. Dairesel çekirdekte eğilme testi sonrası oluşan hasar .....	36
Şekil 4.12. Federli Konik Eğilme için 3 nokta eğilme testi altında yük-deplasman eğrisi .....	37
Şekil 4.13. Federli Dairesel çekirdekte eğilme testi sonrası oluşan hasar .....	37
Şekil 4.14. Federli Dairesel çekirdekte ters eğilme testi sonrası oluşan hasar .....	38
Şekil 4.15. Eğilme zorlaması şematik gösterimi .....	38
Şekil 4.16. Tüm çekirdeklerin 3 nokta eğilme testi altında yük-deplasman eğrileri .....	39

Şekil 4.17. Piramit basma testi altında yük-deplasman eğrisi .....	40
Şekil 4.18. Konik basma testi altında yük-deplasman eğrisi.....	40
Şekil 4.19. Federli basma testi altında yük-deplasman eğrisi .....	41
Şekil 4.20. Tüm Panellerin basma yükü altındaki yük-deplasman eğrileri .....	41
Şekil 4.21. Piramit yapılı çekirdek basma testi sonrası görünüm.....	42
Şekil 4.22. Konik yapılı çekirdek basma testi sonrası görünüm .....	42
Şekil 4.23. Federli konik yapılı çekirdek basma testi sonrası görünüm .....	43
Şekil 4.24. Düzlemsel maksimum gerilme dağılımı (üstte), Tsaih hasar kriterine göre hasar dağılımı (ortada), ve hasar bölgelerinin karşılaştırılması (altta).....	44
Şekil 4.25. Düzlemsel maksimum gerilme dağılımı (üstte), Tsaih hasar kriterine göre hasar dağılımı (ortada), ve hasar bölgelerinin karşılaştırılması (altta).....	44

## **ÖNSÖZ**

Öncelikle tezimin başlangıcından sonuna kadar bana yardımlarını esirgemeyen değerli hocam Dr. Öğr. Üyesi İbrahim Savaş DALMIŞ' a ve Dr. Kenan ÇINAR' a katkılarından dolayı teşekkür ederim.

Bu tezde maddi manevi destek sağlayan Namık Kemal Üniversitesi ve Uzay Makine A.Ş. ye teşekkür ederim.

Mayıs 2018

Uğur ÖZEN

## **1. GİRİŞ**

Kompozit malzemeler; iki ya da daha fazla malzemenin uygun özelliklerini tek malzemede toplayarak veya yeni bir özellik çıkarmak amacıyla makro düzeyde birleştirilmesi sonucu oluşturulan malzemelerdir. Kompozit malzemeler hafifliği gibi pek çok avantajı nedeniyle günümüzde giderek daha fazla kullanılmaktadır. Yüksek rıjitlik (ağırlık oranına bağlı olarak), yüksek dayanıklılık, yorulma direnci, korozyon direnci gibi birçok özelliğe sahiptirler.

Kompozit malzemeler klasik malzemelere oranla sahip oldukları hafiflik, yüksek dayanım/agırlık oranı, kolay onarılabilme, boyutsal kararlılık, yüksek ısıl ve kimyasal direnç ve nispeten kolay üretim gibi özellikleriyle ön plana çıkmaktadır. Kompozit malzemelerin metallere göre önemli avantajlarının bulunmasının yanı sıra bazı dezavantajları da mevcuttur. Kompozit malzemeler metallere göre çok daha kırılgan (gevrek) bir yapıya sahiptirler ve plastik deformasyon meydana gelmez. Dolayısıyla kompozit yapılarında ani hasarlar olabilmektedir. Metaller ise sünek yapıya sahip olduklarıdan, yükleme altında plastik deformasyon meydana gelebilir. Metallerdeki kırılma olayı belli süreçleri gerektirdiği için kırılmadan önce gerekli önlemlerin alınma şansı vardır. Bu duruma ek olarak kompozit malzemelerin, gerilme yiğilmalarındaki davranışları da metallere oranla çok daha farklıdır. Bunun sebebi kompozit malzemelerin anizotropik ve kırılgan olmalarıdır. Yukarıda belirtilen durumlardan dolayı kompozit yapıların tasarımları metallerden oluşan yapıların tasarımlına göre oldukça karmaşıktır ve detaylı çalışma gerektirmektedir. (Basmacı 2011)

### **1.1. Elyaf Takviyeli Kompozit Plaka Üretimi**

Kompozit malzeme üretimi için çeşitli yöntemler kullanılmaktadır. El yatırma yöntemi, elyaf sarma yöntemi, vakum infüzyon yöntemi, püskürtme yöntemi, sıcak pres kalıplama, ve otoklav pişirme gibi birçok üretim yöntemi bulunmaktadır. Bu yöntemlerden bazıları aşağıda kısaca açıklanmıştır.

#### **1.1.1. El Yatırma Yöntemi**

Bu yöntemde elyaf malzeme daha önceden hazırlanmış bir kalıp içine yerleştirilir ve reçine bir el aleti vasıtasyyla elyafın üzerine sürürlür. İstenilen kalınlık ölçüsü elde edilinceye kadar bu işleme devam edilir ve kompozit plaka üretilmiş olur.

#### **1.1.2. Sürekli kalıplama Yöntemi**

Bu kalıplama metodunda elyaf reçine içine daldırılır ve üzerine ayırıcı sürülmüş dönmeyece olan kalıp üzerine sarılarak oluşturulan üretim yöntemidir.

### **1.1.3. Vakum İnfüzyon Yöntemi**

Vakum destekli reçine infüzyonu yöntemi kısaca kalıp ayırıcı sürülmüş bir kalıbin içerisinde cam elyaf, karbon, aramid vb. kumaşların belirlenen tabaka dizilişine uygun olarak yerleştirilmesi ve bu kumaşların kalıp çevresine yerleştirilen macun bantlar ve vakum folyosu (torbası) vasıtasyyla dış ortamdan izole edilmesi, yapının vakum ortamına alınması ve daha sonra reçine nüfuz ettirilmesi esasına dayanır. (Potoğlu 2012)

### **1.1.4. Püskürtme Yöntemi**

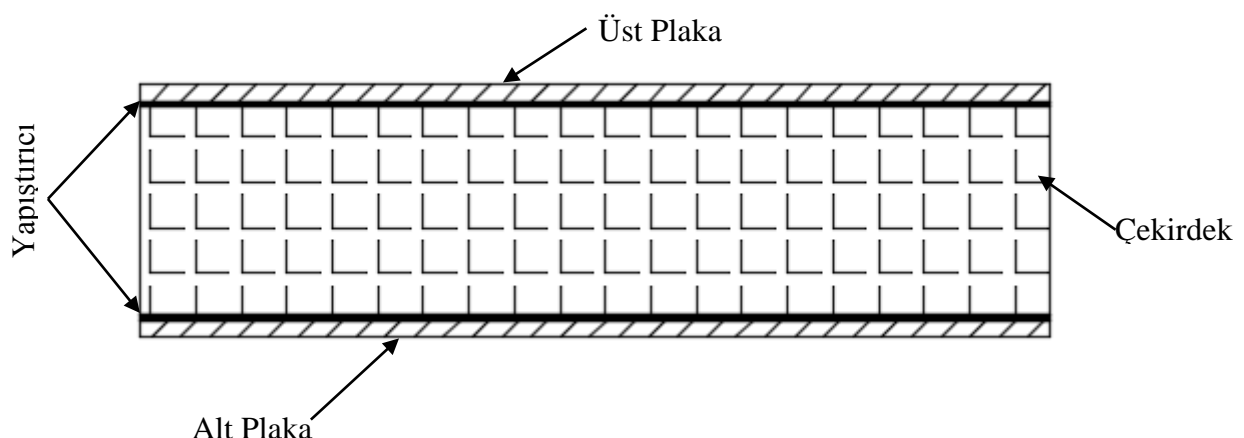
Püskürtme yöntemi elle yatırma yönteminin aletli olanı denebilir. Kalıp yüzeyine yerleştirilen elyafların üzerine sertleştirici katılmış reçinenin tabanca ile püskürtülmesi olayıdır.

### **1.1.5. Santrifüj Kalıplama Yöntemi**

Boru ve silindirik malzemelerin imal edilmesinde kullanılır. Elyaf, reçine ve sertleştirici karışımı dairesel bir kaba konur ve döndürülür. Bu döndürme işlemi ile oluşan merkez kaç kuvveti ile elyaf kabin şeklini alır ve böylece üretim gerçekleşir. Bu yöntemde kalıp içine sıcak hava üflenerek kalıbin donması sağlanır.

## **1.2. Sandviç Kompozit Panel**

Sandviç Kompozit paneller hafifliği, yüksek enerji sönmlemeleri ve eğilme dayanımları yüksek olduğundan birçok alanda kullanılmaktadır. Örneğin; hava ve deniz araçları, otomotiv sektörlerinde kullanılmaktadır. Hafifliğin önemli olduğu mukavemet dayanımının yüksek olmasını istediği her sektörde kullanılmaktadır. Sandviç panel şematik görünümü Şekil 1'de verilmiştir.



## **Şekil 1. Kompozit Sandviç Panel**

Kompozit sandviç plakalar alt-üst plaka, çekirdek ve bu malzemeleri birleştirecek bir birleştirici elemandan oluşur. Burada birleştirici elemanın önemi çok büyüktür çünkü bütün sistemin birbirine kenetlenmesini sağlar.

Kompozit Sandviç Malzemelerde kullanılan ana elemanları oluşturan malzemeleri aşağıdaki gibi sıralayabiliriz;

### **1.2.1. Kompozit Malzeme Yüzey Çeşitleri:**

**Cam elyafları:** Cam elyafına cam ipliği de denir. Silisli kum, kireç taşı, asitrobik, alüminyum ve magnezyum karışımından oluşmaktadır. Cam elyafi oldukça sağlam, yanmaz, çekmeye ve gerilmeye dayanıklı, emici olmayan bir ipliktir.

**Aramid elyaflar:** Aramid elyaf bir naylon türevi olup yüksek mukavemeti sahip organik elyaftır. Ateşe dayanıklı, aşınma direnci yüksek, yüksek mukavemeti sahip olduklarından delinmeme özelliğine sahiptirler, yapısı itibariyle nem almaya müsaittir.

**Karbon elyafları:** Mukavemet olarak cam ve aramid elyaflarından çok daha üstün özellikler taşırlar. Darbelerin yutulması için ve çok düşük ağırlıkla rıjilik sağlamak amacıyla kullanılırlar. Düşük uzama seviyeleri ve kırılganlıkları başlarda problem olmuşsa da günümüzdeki yüksek uzamalı karbon elyaflarının bulunmasıyla bu problemler ortadan kalkmıştır. Plastik matris içerisinde ıslanabilme özellikleri oldukça iyidir. (Tortoç 2009)

**Diger plastik elyaflar:** Naylon ve poliüretan malzemeden imal edilirler.

**Boron elyaflar:** Metal takviyeli kompozitlerde kullanılır.

### **1.2.2. Kompozit Malzeme Üretiminde Kullanılan Reçine Türleri:**

**Polyesterler:** Reçine matrislerin bilinen en eskilerinden ve en çok kullanılmıştır. Islak yatırma için uygundur. Sertleşmesi egzoterm kimyasal bir polimerizasyon sonucu olur. Bu arada solventi styrenmonomer açığa çıkar. Genelde ortoftalik ve izoftalik olarak iki tip polyester kullanılır. Polyesterin saf halde korozif elementlere ve suya mukavemeti çok iyi değildir. İmalatta çalışma süresi 30-40 dakika ile sınırlıdır. Bu süreyi uzatmak için çeşitli

inhibitörler kullanılabilir. Ancak reaksiyonun egzoterm özelliği ve hızının güç kontrol edilebilmesi vakum altında imalatta çok büyük zorluklar getirir. (Tortoç 2009)

**Vinylesterler:** Epoksi bazlı vinilester reçineler standart polyester reçinelerden farklı kimyasal yapısı sayesinde çok daha yüksek ısı ve kimyasal (asidik ve bazik ortam) dayanıma sahiptir. Bu özel yapısal karakteri ile mekanik değerleri ve yük altında deformasyon sıcaklığı (HDT) değerleri de son derece yüksektir.

**Epoksiler:** Epoksi reçineler, termosetler grubunda yer alan yüksek yapıştırma gücüne sahip olan reçine türüdür. Aside ve suya dirençleri çok yüksek olduklarıdan dolayı zamanla özelliklerini yitirmezler. Uygulama alanları oldukça genişdir. Epoksilerin genel özellikleri; mükemmel yapışma, kimyasal ve ısı direnci sağlama, mükemmel mekanik özelliklere sahip olma ve çok iyi elektriksel yalıtım sağlamadır

### **1.2.3. Kompozit Çekirdek Çeşitleri:**

**PVC köpükler:** Kolay ebatlanma, hafif, uygun fiyat avantajları ile kompozit yapılarda en çok kullanılan çekirdek malzemesidir.

**Balsa ahşabı:** Hafif balsa ağacı, elyafları deriye dik gelecek şekilde kesilerek çekirdek olarak kullanılır. Balsa çekirdeklı sandviçler çok iyi bir rıjilik sağlarlar. Ancak, kırılmaları ani ve büyük boyutlu olur. Bunun yanı sıra, tabii kaynaklı malzemenin standardizasyonu imkânsız denecek kadar zordur. Nispeten yüksek yoğunluğu ise, PVC köpük gibi geniş bir seçenek şansı vermez. (Tortoç 2009)

**Tahta:** Balsa dışında tahta da, bilhassa iyi ezilme mukavemeti beklenen yerlerde çekirdek malzemesi olarak kullanılabilir. Genelde kontura plak veya lamine şeklindedir. Standardizasyonu balsadan daha iyi kontrol edilebilir. Ağırlığı önemli bir dezavantajıdır. (Tortoç 2009)

**Bal peteği:** Hafiflik, basma ve kesme dayanımı, yanmaya, aşınmaya, korozyona karşı dayanıklılık ve kolay işlenebilirlik, enerji sömümleme, gibi özellikleri nedeniyle kara, deniz, havacılık ve uzay sektörlerinde sıkça kullanılırlar. Bal peteği oluşturulan kompozit paneller, mevcut çözümlerden daha hafif ve yüksek mukavemete sahiptirler.

Kompozit sandviç yapımının esnekliği, bu malzemeden yenilikçi yapısal gelişmeler sağlar. Kompozit malzemeler aynı zamanda inşaat malzemeleri ile birleştirilebilir veya tek tek sandviç yapısı tarafından taşınamayan yükleri taşımak üzere şekillendirilebilir ve oluşturulabilir. Buna ek olarak, sandviç yapısı istenilen sağlamlık ve mukavemet ile çeşitli

yapısal uygulamalara uyacak ek ağırlık bir ağırlık olmaksızın tasarlanabilir. (Manalo ve ark. 2010)

Sandviç yapılar, yüksek sağlamlık ve yüksek mukavemetli iki ince yüz ile düşük yoğunluklu ve düşük sertlikte bir çekirdekten oluşur. Vakum destekli reçine transfer kalıplanmış (VARTM) sandviç yapılarda, yüzler genellikle bir karbon fiber veya cam elyaf kompozit malzemeden yapılır ve çekirdek tipik olarak uç tahıl balsa ahşabı veya polivinil klorid gibi kapalı hücreli polimer köpüklerden oluşur. (J.Dai ve H.Thomas Hahn 2003)

Reçine transfer kalıplama (RTM), ve VARTM(Vakum yardımcı reçine transfer kalıplama) gibi kompozit üretim proseslerinin geliştirilmesiyle birlikte, polimer matris kompozitler kullanılarak üretilen sandviç yapılar 1980'lerin başında keşfedilmiştir. Özellikle VARTM, türbin kanatları, tekneler, raylı araçlar ve köprü katları(desteleri) gibi çeşitli büyük parçaları üretmek için kullanılan düşük maliyetli bir kompozit üretim sürecidir. (Mohamed 2015)

Sandviç yapılarının yapısal davranış ve başarısızlık özelliklerini incelemek gerekliliği son yıllarda artmıştır. Son uygulamalar, fiber takviyeli kompozit sandviç yapının inşaat yapıları ve çeşitli kritik ağırlık uygulamalarında etkin ve ekonomik olarak kullanılabilceğini göstermiştir. Bu uygulamalarda, yüksek ağırlık tasarrufu ile birlikte iyi bir büükülme ve basınç dayanımı kombinasyonu önemlidir. (Mohamed ve ark. 2014) Elyaf Takviyeli Polimerler (FRP'ler), hafif yapıdaki yapısal uygulamalar için avantaj sağlayan, oldukça sert, güçlü ve hafif malzemelerdir. Bununla birlikte FRP 'ler deformé ve hasara karşı koyma konusunda kısıtlı özellikler sunmaktadır. (Pimenta, Robinson 2014)

Sandviç yapıların daha etkili hafif enerji emici yapılar bulmak için çeşitli malzemeler ve geometrik konfigürasyonlar araştırılmıştır. Bunlardan biriside yumurta kutusu şeklindeki geometrik yapılardır. Bu tip yapıların en önemli avantajı enerji emme kapasitesinin yüksek olduğunu göstermektedir.

## 2. LİTERATÜR ÖZETİ

Mohamed ve arkadaşları (2015) yaptıkları çalışmada farklı çekirdek tasarımları için poliüretan köpük malzemesi kullanarak sandviç paneller üretilmiştir. Çekirdek yapısı olarak kutu şeklinde ve trapez kıvrımlı geometriler kullanılmıştır. Paneller vakum infüzyon yöntemi kullanılarak üretilmiştir. Yapılan testler sonucunda trapez geometrili çekirdek tasarımlarının eğilme dayanımının diğer geometrilere göre daha yüksek çıktıgı görülmüştür.

Fan ve arkadaşları (2007) Kagome adı verilen bir kafes yapısını sandviç yapının çekirdek kısmına uygulayıp kompozit panel üretilmiştir. Karbon fiber ile desteklenmiş kafes çerçevesinin köpük ve bal peteği yapılara kıyasla daha riyit ve sağlam olduğu gözlemlenmiştir.

Fan ve arkadaşları (2014) kompozit sandviç yapılarının süneklik davranışını iyileştirmek için çekirdek malzemesi olarak cam elyaf takviyeli piramit şeklinde bir yapı kullanmıştır ve bu yapının ezme testlerinde yüksek dayanıma sahip olduğu gözlemlenmiştir.

J.Dai ve H.Thomas Hahn (2003) D-100 balsa ahşap ve H-250 PVC köpük olmak üzere iki farklı çekirdek malzemesi kullanılarak sandviç kırışlerin statik 3 ve 4 noktalı bükülmelerdeki başarısızlık davranışını incelenmiştir. Yüzler yarı izotrop E-cam dokuma olmayan kumaş ve sandviç paneller, VARTM prosesinde Derakane 441-400 epoksi vinil ester reçinesi kullanılarak imal edilmiştir.

A.C. Manalo ve arkadaşları (2010) yaptıkları çalışmada, tutkal-lamine fiber kompozit sandviç kırışlerin eğilme davranışları üzerine deneyel bir incelemeyi içermektedir. Birbirine yapıştırılmış kompozit sandviç panelli kompozit sandviç kırışlar, sertlik ve mukavemet özelliklerini değerlendirmek için düz ve kenarlarda 4 noktalı statik eğilme testine tabi tutulmuştur. Sonuçlar, kompozit sandviç kırışlerin kenar yönünde konumlandırmasının, % 25 daha yüksek eğilme mukavemeti ile başarısız olduğunu, fakat düzlem pozisyonundaki kırışlerden % 7 daha düşük bükülme sertliğine sahip olduğunu göstermiştir.

J.G. Chung ve arkadaşları (2007) bu çalışmada kompozit yumurta panellerinin deformasyonu ve enerji emilimini araştırmışlardır. Bu çalışmada yumurta kutusu şeklinde tasarlanan kalıpta cam elyaf takviyeli (GFRP) ve karbon fiber takviyeli (CFRP) kompozit malzemelerin farklı kalınlık ve farklı dizilik sırasındaki davranışını deneyel olarak incelenmiştir. CFRP yumurta kutusu panellerinin belli bir gerilme veya ağırlıkta birim kütle başına en yüksek enerji emilimine sahip olduğu, ancak simetrik olarak istiflenmiş GFRP panellerin daha uygun maliyetli enerji emiciler olduğu bulunmuştur.

Anne-Marie Harte ve arkadaşları (2000) örgülü cam / epoksi kompozitlerden yapılan köpük dolgulu dairesel kompozit tüplerin enerji emilimini inceleyip, tüp duvar mukavemeti ve köpük yoğunluğunun etkilerini belirlemiştir. Köpük dolgulu örgülü dairesel tüplerin, polimerik köpük çekirdeğin ve cam / epoksi örgülü tüpün enerji emiliminin, kombinasyonundan ötürü daha yüksek enerji emici özellikler sergilediğini bulunmuşlardır.

Cui ve arkadaşları, yaptıkları çalışmada (2004) enine yüklü kompozit küresel kubbelerin büyük deformasyon davranışlarını tanımlamayı amaçlamıştır. Kompozit kubbelerin üretilmesi için aynı termoplastik matrikse, polipropilen içine gömülümsüz, dokunmuş ve örtülmüş, iki farklı cam kumaş kullanılmıştır. Farklı katlar ve oryantasyonlara sahip olan iki kıvrımlı kabuklar iki rıjıt yassı levha arasında bastırılmıştır.

Deshpande ve Fleck (2003) bir optimizasyon şeması kullanarak, bir alüminyum yumurta kutusu panelinin metal köpüklerden daha yüksek bir enerji emilime sahip olduğunu ve altıgen petekler gibi hemen hemen aynı enerji emilimine sahip olabileceğini bulmuşlardır.

Soraia Pimenta ve Paul Robinson (2014) yaptıkları çalışmada, simetrik olarak dalgalı kompozit kabukları olan sandviç yapıları için yeni bir tasarım ve gerilme yükü altında büyük gerginlik (kabukların açılmasından dolayı) ve enerji emiliminin (köpük çekirdeğinin ezilmesi nedeniyle) elde edilmesini amaçlayan, ezilebilir bir köpük çekirdeği önermektedir.

A. Tortoç (2009) yaptığı çalışmada PVC ve Balsa çekirdek malzemesine sahip sandviç kompozit malzemelerin kırılma tokluğu değerlerini, sonlu elemanlar yöntemi ile teorik olarak belirlememiştir. Nümerik olarak sonlu elemanlar yöntemi kullanılarak ANSYS yazılımı ile kırılım tokluğu değerleri belirlenmiş ve bulunan sonuçlar deneysel metotla bulunan sonuçla ile karşılaştırılarak, veriler bir tablo halinde sunulmuştur.

U. Potoğlu (2012) yaptığı çalışmada E-camı/epoksi kabuklu PVC ve PET köpüğü çekirdekli sandviç kompozit malzemelerin düşük hızlı darbe test davranışlarını deneySEL olarak incelemektir. Düşük hızlı darbe deneyinde kullanılacak sandviç kompozit plakalar için vakum destekli infüzyon kalıplama yöntemi kullanılarak üretilmiştir. Bu plakalardan 100 mm x 100 mm şeklinde kesilen numuneler bir test düzeneği kullanılarak düşük hızlı darbe testine tabi tutulmuştur. Darbe testine tabi tutulan numuneler için kuvvet, deplasman, absorbe edilen enerji, zaman, hız gibi parametrelerin değişimi kaydedilmiş ve kendi aralarında köpüğe ve katman sayısına göre karşılaştırılmıştır.

A.K Haldar ve arkadaşları (2018) bir yumurta kutusu çekirdeği tasarımasına dayanan kompozit çekirdekleri, basit bir basma-kalıplama tekniği kullanılarak üretilmiştir. Çekirdek malzemeleri üretmek için iki tip kompozit prepreg kullanıldı; bunlar, dokuma karbon fiber takviyeli epoksi ve dokunmuş cam elyaf takviyeli epoksidir. Elde edilen çekirdekler, imalat prosedürünü takiben çok az veya hiç buruşma sergilemeyen yüksek kalitedeydi. Karbon bazlı çekirdeklerin yarı statik basma mukavemetinin, özellikle yüksek çekirdek yoğunluklarında, cam elyaf sistemlerinden biraz daha yüksek olduğu gösterilmiştir. Darbe vuruş kulesi kullanılarak gerçekleştirilen darbe testleri, yumurta-kutu çekirdeklerinin basma mukavemetinin, dinamik oranlarda, yarı-statik oranlara göre daha yüksek olduğunu göstermiştir.

A.K Haldar ve arkadaşları (2016) yaptıkları çalışmada yarı statik yüze maruz kalan küresel çatı kompozit çekirdek yapıları ile oluşturulmuş panellerin enerji emici özelliklerini araştırmışlardır. Cam elyaf takviyeli (GFRP), ve karbon fiber takviyeli (CFRP) panellerin enerji emici özelliklerine, çekirdek formu ve hücre çeperi kalınlığının etkisi incelenmiştir. Panellerin enerji emme kapasitesi çekirdek hücre kalınlığı arttıkça arttığı ve küresel çatı tavanlı çekirdeklerin düz çatı tavanlı çekirdeklerden daha iyi performans gösterdiği görülmüştür.

S.W. Lam ve arkadaşları (2004) birkaç örme polimer elyafı ve matrislerinden yapılmış, düz tepeli, izgara kubbeli bir hücresel yapının enerji emme davranışını incelediler. Darbe enerjisinin, lif hacminin ve lif mimarisinin yapının enerji emilimi üzerindeki etkilerini değerlendirdiler. Eşdeğer hücre duvarı kalınlığının, dominant bir faktör olduğu gösterilmiştir. Sabit bir kalınlıkta, fiber hacim fraksiyonunda artış, kompozit tokluğun yanı sıra enerji emme kapasitesinde de artışa yol açtığı saptanmıştır. Hem yapısal hem de duvar kalınlığına bağlı olarak hem örgü hem de dokumasız hücresel kompozitler için farklı deformasyon modları gözlemlenmiştir.

Seong Hwan Yoo ve arkadaşları (2008) kumaş kompozit malzemelerden üretilen yumurta kutusu şeklindeki enerji emici yapılar, basınç özellikleri ve enerji emme kapasitesini belirlemek için imal etmişlerdir. Basma sırasında gerilme-gerinim eğrilerini araştırmak için çeşitli istifleme dizileri ve sınır koşulları (kısıtlanmamış ve bağlanmış) incelenmiştir. İdeal bir enerji emici olarak olasılığını kontrol etmek için köpük dolgulu kompozit yumurta kutusu panelleri üretildi ve test edildi. Test sonuçlarından, köpük dolgulu kompozit yumurta kutusu panellerinin, iyi bir enerji emme kapasitesine sahip olduğu bulunmuştur.

S.H Yoo ve arkadaşları (2010) yaptıkları çalışmada köpük dolgulu yumurta kutusu panellerinin enerji emilimini araştırmışlardır. Paneller düz örgülü karbon fiber takviyeli (CFRP) ve bir dizi istifleme dizesine sahip cam elyaf takviyeli (GFRP) kompozit panellerden imal edilmiştir. Bazı testlerde merkezdeki boşluğu doldurmak için düşük yoğunluklu köpük kullanılmıştır. Köpükle doldurulmuş kompozit yumurta çekirdeği sandviç panellerin daha iyi bir enerji emme kapasitesine sahip olduğu bulunmuştur.

Yu ve arkadaşları (2000) örme kumaşlardan yapılmış ızgara kubbeli tekstil kompozit yapılarının enerji emilimini test etmişler ve malzeme davranışını açıklamak için üç aşamalı bir teorik model önermişlerdir. Örme kumaşlardan imal edilmiş üç ızgara kubbeli tekstil kompoziti, yarı statik basma ve darbe durumu altında incelenmiştir. Izgara kubbeli kompozitler arasında, dokumasız bir kumaş preformu, polyester ve polietilen köpükleri birleştiren kompozit malzemeler arasında karşılaştırma yapılmıştır. Plastik çöküntü sergileyen ızgara kubbeli kompozitler, yüksek basınç seviyelerinde, polyester ve polietilen köpüklerden daha yüksek düzeyde optimum özgül enerji emici kapasiteye sahip olduğu bulunmuştur.

Zhou ve arkadaşları (2016) yaptıkları çalışmada cam elyaf / epoksi ve karbon fiber / epoksi çekirdeklerine dayalı kompozit sandviç yapılarının basma esnasındaki enerji emilimini araştırmışlardır. Yapılar bir dizi bitişik centik silindir etrafına kompozit prepreg tabakaları sarılarak üretilmiştir. Daha sonra prepreg yüzey tabakaları bu sarılmış silindirlerin alt ve üst yüzeylerine tutturularak tüm yapı sıcak preste sertleştirilmiştir. Karbon fiber takviyeli oluklu yapılar, özellikle daha yüksek oluklu kalınlık değerlerine sahip cam esaslı muadiline göre üstün basma dayanımına sahip olduğu bulunmuştur.

Zu-pan ve arkadaşları (2003) üç farklı sınır koşulu ile bastırılmış alüminyum yumurta kutusu panelleri üzerinde basınç testleri ve sonlu elemanlar analizi gerçekleştirilmiştir. Kısıtlanmamış, kısıtlanmış ve bağlanmış olmak üzere üç sınır şartı kullanılmıştır. Bu sınır koşullarına bağlı olarak önemli farklılıklar bulmuşlardır. Birim kütle ve birim hacim başına enerji emilimi, nispi yoğunluk ve sınır koşullarının bir fonksiyonu olarak ölçülmüştür. Çökme mukavemetinin nispi yoğunluğa fonksiyonel bağımlılığı ve gözlemlenen deformasyon modlarının doğrudan incelenmesi, çökmenin yumurta kutusunun yan duvarlarının bükülmesiyle baskın olduğunu göstermektedir.

Guo-dong Xuve arkadaşları (2018) 3D oluklu çekirdek sandviç yapılarının mekanik davranışları ve bozulma mekanizmasını incelemiştir. Mukavemet, sertlik ve baskın hata modlarını tahmin etmek için analitik modeller geliştirilmiştir. Oluklu parametrelerin 3D

oluklu çekirdek sandviç yapılarının mekanik davranışları üzerindeki duyarlığını göstermek için, farklı dereceli parametrelere sahip örnekler imal edilmiş ve basma ve bükme yükleri altında test edilmiştir. Sonuçlar, dereceli parametrelerin, 3D oluklu çekirdek sandviç yapılarının mekanik özelliklerini ve bozulma modlarını açıkça etkilediğini göstermiştir. Tahminler ayrıca deneylerle karşılaştırılmış ve sonuçlar iyi şekilde örtüşmüştür.

J. Zhou ve arkadaşları (2018) yaptıkları çalışmada, hafif darbelere dayanıklı sandviç yapılarında kullanılmak üzere kompozit tüp takviyeli PVC köpük çekirdeklerinin enerji emici özelliklerini araştırmışlardır. Basma testleri, hem cam elyafı hem de karbon / cam elyaf kompozit tüplerle güçlendirilmiş, 40 ila 130 kg / m<sup>3</sup> arasında değişen yoğunluklarda çapraz bağlı PVC köpük çekirdekleri üzerinde gerçekleştirilmiştir. Bu güçlendirilmiş köpüklerin enerji emici özelliği, her bir konfigürasyonun spesifik enerji emiliminin belirlenmesiyle değerlendirilmiştir. Boru takviyeli köpüklerin mekanik tepkisi de sonlu elemanlar yöntemi kullanılarak modellenmiştir. Dinamik performanslarını ve çarpışma koşullarında enerjiyi emebilme yeteneklerini araştırmak için düşme darbe testleri de yapılmıştır. Boruların bir köpük panel içine gömülmesinin, kompozit borularda meydana gelen ve büyük ölçüde enerji emebilme yeteneklerini artttırduğu gösterilmiştir.

A.J. Malcom ve arkadaşları (2013) Hafif, enerji emici, cam elyaf kompozit sandviç yapısını yapmak için bir yöntem tanımlamışlar ve bunu basma tepkisi (düzlem dışı) aracılığıyla araştırmışlardır. Sandviç yapısı, üçgen kesitli prizmatik kapalı hücreli, PVC köpük uçları üzerine katlanmış, delaminasyona dirençli 3D dokunmuş E-cam elyaflı tekstillerden imal edilen oluklu kompozit çekirdekler kullanmıştır. Oluklu yapı, 3D dokunmuş S2-cam elyafı yüz tabakalarına dikilmiştir ve kauçuk ile sertleştirilmiş, darbeye dayanıklı epoksi ile filtrelenmiştir.

Denis D. Cartie ve arkadaşları (2003) Titanyum ve karbon fiber pimleri, kalınlık mukavemetini artırmak için bir sandviç panelin (karbon fiber yüz tabakaları) polimetakrilimit köpük çekirdeğine yerleştirilmişlerdir. Köpük çekirdeğin pimleri elastik burkulmaya karşı stabilize ettiği ve pim takviyeli çekirdeğin köpük ve desteklenmeyen pimlerden gelen bireysel katkıları aşan bir güç ve enerji emme kapasitesine sahip olduğu bulunmuştur.

H. Hamada ve arkadaşları (2000) 3-boyutlu kompozit malzemeler için yakın-net şekilli preformların üretilmesine izin veren, sürekli olarak yönlendirilmiş fiber takviyeli entegre bir örgü tekniği geliştirilmiştir. Örgülü çubuk, 3 boyutlu yakın net şekilli bir kompozitin basit bir birimidir. Bu açıdan örgülü çubukları değerlendirmek için ezme testleri

yapılmıştır. Bu malzemenin özgül enerji emilimi ( $E_s$ ) değerleri, cam bezi / epoksi tüpünden daha yüksektir. Bu çalışmada, üstün enerji emilimi özellikleri elde etmek için örgülü çubuklara esnek bir interfaz konseptini uygulamaya çalışmışlardır. Esnek bir interfaz ile örgülü kompozit çubuklar, aşamalı kırma olarak adlandırılan karakteristik kırma modunu da göstermiştir. Sonuç olarak, çubuğu esnek bir interfazla spesifik enerji emilimi, esnek bir interfaz içermeyen bir kompozitinden % 30 daha yüksektir.

A. Basmacı (2011) yaptığı çalışmada cam elyaf takviyeli sandviç kompozit plaklarda pimli bağlantıların hasar mekanizmasının deneysel olarak incelemektedir. Deney esnasında kullanılan sandviç kompozit numuneler, vakum destekli reçine infüzyon sistemi kullanılarak üretilmiştir. Öncelikle dolgusuz pimli bağlantıya sahip numuneler üretilmiş ve çekme deneyleri yapılmıştır Ardından çeşitli geometrik parametrelere sahip pim etrafi elyaf-reçine dolgulu numuneler üretilmiş ve çekme deneyine tabi tutulmuştur. Elde edilen sonuçlar birbirleriyle ve uygun parametreler temel alınarak karşılaştırılmıştır. Bu karşılaştırmalar tartışılmış, dolguların hasar mekanizmalarına etkisi hakkında faydalı sonuçlara ulaşılmıştır.

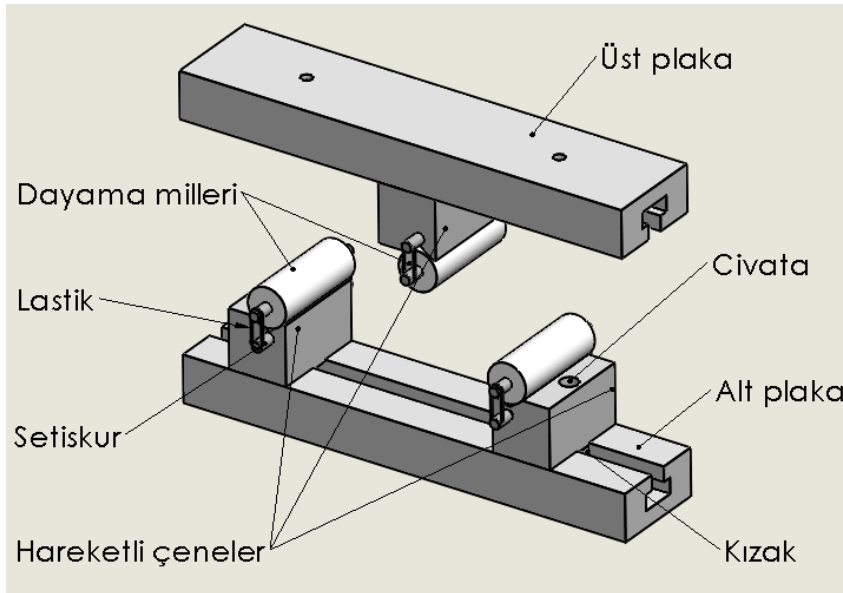
A.R. Akisanya ve N.A. Flec (2006) yaptıkları çalışmada, deneyler ve sonlu eleman hesaplamaları ile 30 derecelik ve 45 derecelik yarı-koni açıları ile konik metalik kabuk üzerinde kesme çökmesi tepkisini belirlemek için araştırmalar yapmışlardır. Basma yüklemesi ve kombine kesme yükü için ek sonlu eleman tahminleri yapılmıştır. Kuvvet ve enerji emiliminin geometriye bağımlılığı araştırılmıştır. Bir dizi konik kabuğun öngörülen tepkisi, sert yüz tabakaları arasına bastırılmış bir yumurta kutusu malzemesinin genel tepkisini vermek için kullanılmışlardır.

### 3. MATERİYAL ve YÖNTEM

#### 3.1. Materyal

##### 3.1.1. Eğilme Test Düzeneği

Üç nokta eğilme ve basma testleri için üretilen test düzeneği şekildeki gibi standartlara uygun şekilde talaşlı imalat yöntemi kullanılarak üretilmiştir. (Şekil 2).



Şekil 2. Üç nokta eğilme test düzeneği

###### 3.1.1.1. Test Düzeneği Ana Elemanları

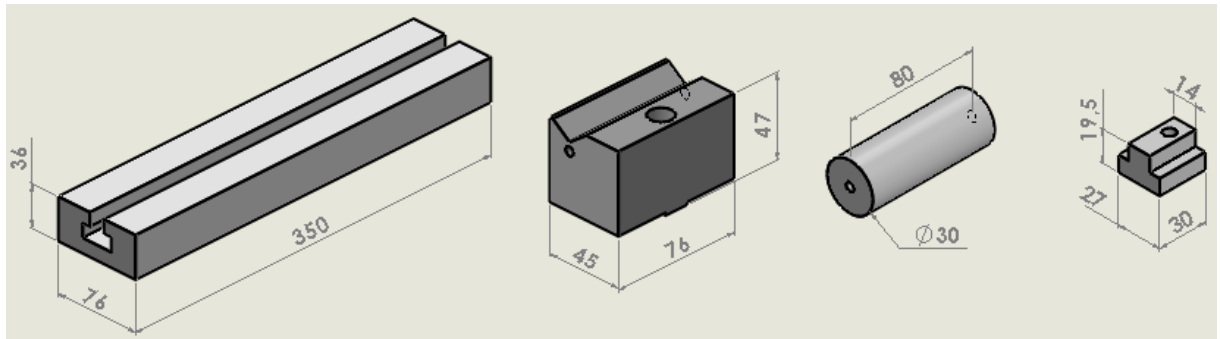
Test düzeneği ana elemanlarının ölçütleri Şekil 2.1 ‘de verilmiştir.

**Alt üst plakalar:** Alt ve üst plakalar test düzeneğinin makine üzerinde sabitlenmesi için kullanılan parçalardır. 350x76x36 ebadında St 37-2 Platina malzemeden üretilmiştir.

**Hareketli çeneler:** Hareketli çeneler üzerinde bulunan “v” tipi kanal sayesinde dayama millerinin baskı anında hareketini engeller ve malzeme boyutuna veya test standartlarına göre sağa ve sola hareket edebilmektedir. Alt tabanında bulunan çıkıştı sayesinde alt ve üst plakaya sağa sola hareketi esnasında eksenel sapmaların ve baskı esnasında hareketin önüne geçmektedir. 45x76x47 ebadında St 37-2 Lama malzemeden talaşlı imalat yöntemi kullanılarak üretilmiştir.

**Dayama milleri:** Test edilecek malzemenin dayandığı millerdir. Ø30x80 mm ebadında St 37-2 malzemeden üretilmiştir. İki başında M6 setiskur deliği mevcuttur. Bu deliklere konulan setiskurlar bir lastik yardımı ile hareketli çenelere çektilirilir ve sabitlenmesi sağlanır.

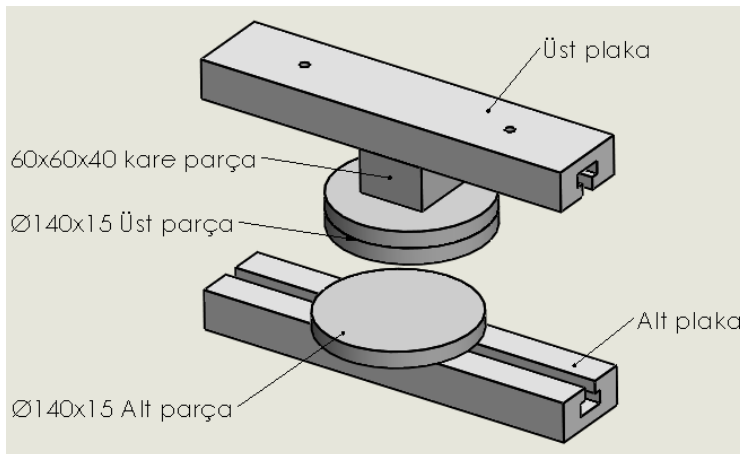
**Kızak:** Kızaklar, hareketli çenelerin tepesinde bulunan civata yardımı ile çekirme yapılarak hareketli çene ile alt üst plakalar arasında yüzey teması ile birlikte yüksek bir sürtünme kuvveti oluşturup hareketli çenenin sabitlenmesini sağlamaktadır.



Şekil 2.1. Üç nokta eğilme test düzeneği

### 3.1.2. Basma Test Düzeneği

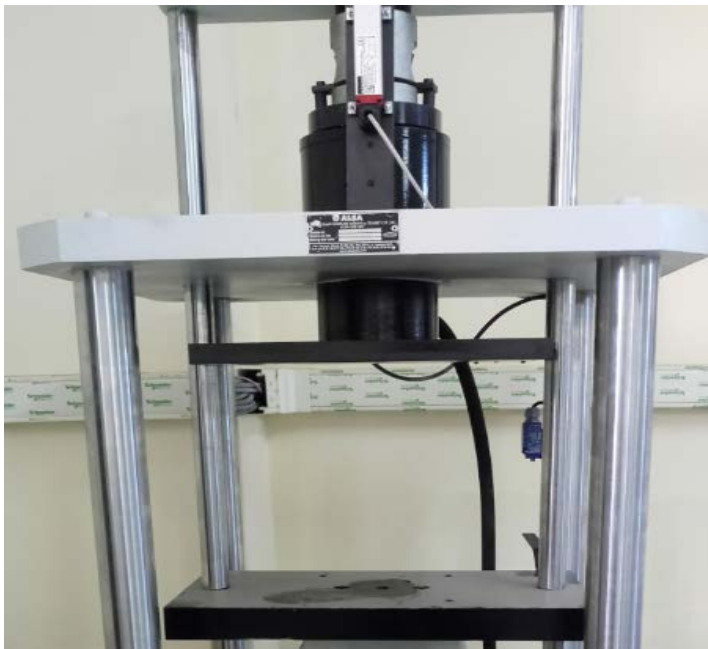
Basma test düzeneğinde eğilme testi için kullanılan alt üst plakalara ek olarak 3 adet Ø140x15 mm St 37-2 Transmisyon malzemeden imal edilmiş disk ve 1 adet 60x60x40 St 37-2 lamadan imal edilmiş kare parça kullanılmıştır (Şekil 2.2)



Şekil 2.2. Basma test düzeneği

### 3.1.3. Basma ve Eğilme Testi Makinası

Testler Çorlu Mühendislik Fakültesi İnşaat Mühendisliği bölümünde bulunan 100 kN yük uygulama kapasiteli ALŞA marka makinada yapılmıştır. (Şekil 2.3)



**Şekil 2.3.** Eğilme ve basma test makinası

### **3.1.4. Vakum İnfüzyon Üretim Elemanları**

Vakum Torbalama yöntemi ana elemanları: (Şekil 2.4).

**Kalıp Ayırıcısı(vaks):** Kompozit malzemelerin kalıp yüzeyine yapışmasını önler.

**Akış filesi:** Fazla reçinenin katmanlı kompozit malzemelerin arasından sızarak reçine emici kata geçirilmesini sağlar. Genellikle naylon ve polyesterden üretilmektedir.

**Reçine emici kat(sök-at kumaşı):** Fazla reçineyi emer ve kompozitin sistemden ayrılmasını kolaylaştırır. Üst kısımdaki vaks görevini görür.

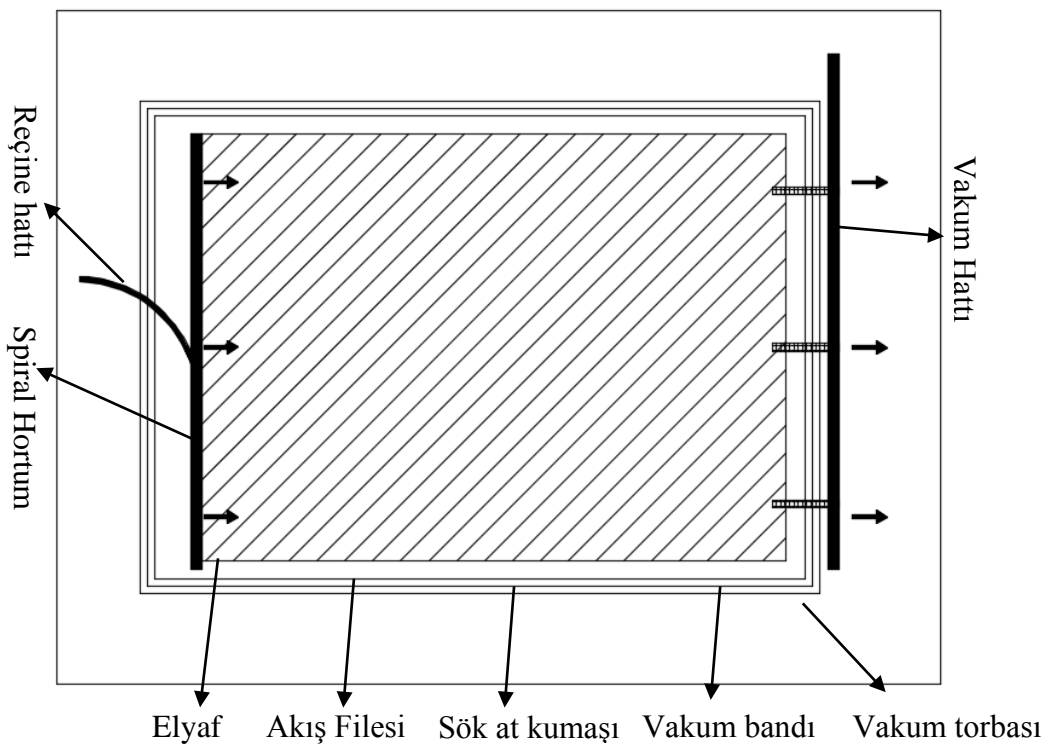
**Hava sızdırılmazlık elemanı (vakum bandı ):** Vakum torbasını kalıbin yan yüzeylerine yapıştırarak kenarda yapışma yüzeyinden meydana gelebilecek olan hava kaçaklarını önler.

**Vakum torbası:** bütün kalıbı içine alacak şekilde kalıp üzerine yerleştirilerek vakum uygulamasının gerçekleşmesini sağlar.

**Reçine hattı:** Reçinenin sisteme aktarıldığı hattır.

**Spiral hortum:** Sisteme aktarılan reçinenin toplanıp sisteme homojen bir şekilde yayılmasını sağlar.

**Vakum pompası:** Vakumlama işlemini gerçekleştirir.



**Şekil 2.4.** Vakum infüzyon hattı şematik gösterimi

### 3.1.5. Kompozit Çekirdek Kalıbı

Kompozit çekirdek kalıpları dışı çekirdek kalıbı, sert erkek çekirdek kalıbı ve yumuşak erkek çekirdek kalıbı olmak üzere üç çeşit kalıp üretilmiştir.

Solidworks programında tasarlanan dışı çekirdek kalıpları Poliüretan malzemeden 500x500x30mm ölçüsünde kesilerek, çekirdek yapılarına göre CAM programı kullanılarak üretilmiştir.

Sert erkek kalıp üretiminde epoksi HEXION MGS L285 reçine ve H285 sertleştirici kullanılmıştır. Sıvı halde bulunan epoksi reçine vaks sürülen dışı kalının içine dökülecek donması beklenmiştir. Reçinenin mekanik özelliklerini Çizelge 2.1 ‘de verilmiştir.

**Çizelge 2.1.** Hexion MGS L285-H285 reçine sisteminin mekanik özelliklerini

ÖZELLİK	DEĞERİ
Çekme gerilmesi [MPa]	70-80
Basma gerilmesi [MPa]	120-140
Elastisite modülü [GPa]	3.2
Poisson oranı	0.36
Kayma modülü [GPa]	1.18

Yumuşak kalıp OttoSil Rtv2 kalıp silikonu kullanılarak imal edilmiştir. Sıvı halde bulunan silikon dişi kalıp üzerine dökülperek kalıbın şeklini alması sağlanmıştır. Silikon katılışmaya başladıkten sonra kalıptan çıkarılmıştır.

### **3.1.6. Cam Elyaf Malzeme**

Plaka ve çekirdek üretiminde Q625 E10C kodlu 0/-45/90/45 Quadriaxial cam elyaf kullanılmıştır. E-Cam elyaf fiber malzemenin özellikleri Çizelge 2.2 de verilmiştir.

**Çizelge 2.2.** Quadriaxial cam elyaf fiber malzeme özellikleri

ÖZELLİK	DEĞERİ
Elastisite modülü [GPa]	72.4
Poisson oranı	0.22
Kayma modülü [GPa]	26.2

## **3.2. Yöntem**

### **3.2.1. Vakum İnfüzyon Yöntemi İle Plaka Üretimi**

Öncelikle üretim yapılacak yüzey düz ve pürüzsüz olmalı ve iyice temizlenmelidir (Plaka üretimi cam üzerinde yapılmıştır).

Üretilen ürün boyutunun 4 tarafından en az 50'şer mm daha büyük olacak şekilde etrafına kâğıt bant yapıştırılır. Yapıştırılan bu bandın amacı üretim yapılacak olan alana cam elyafın yapışmaması ve üretim sonunda rahat sökülebilmesi için vaks sürülmektedir. Yapıştırılan bant alanı temiz kalmaktadır.

Yapıştırılan bandın iç kısmına yani üretilen ürün kısmına kalıp ayırıcı (vaks) sürüldür. Bir süre (Yaklaşık 5 dakika) vaksın kuruması beklenmekten sonra bir kat daha sürüldür ve tekrar kuruması beklenir (Şekil 2.5).



**Şekil 2.5** Cam yüzeyine vaks sürülməsi

Cam elyaflar üretim için gerekli ölçülerde kesilir. Kesim ölçüsü 320x720x1 mm'dir.

Cam elyaflar;

- $0^\circ, +45^\circ, -45^\circ, 90^\circ$
- $90^\circ, -45^\circ, +45^\circ, 0^\circ$

Olacak şekilde simetrik olarak üst üste yerleştirilir (Şekil 2.6).



**Şekil 2.6.** Cam elyaf dizilişi

Reçine geçirgenliğini sağlayan ayırcı kat (sök at kuması) cam elyaftan 5'er cm artacak şekilde kesilir (vakum verilecek köşe daha uzun kalacak şekilde) (Şekil 2.7).



**Şekil 2.7.** Sök at kumaşı konulması

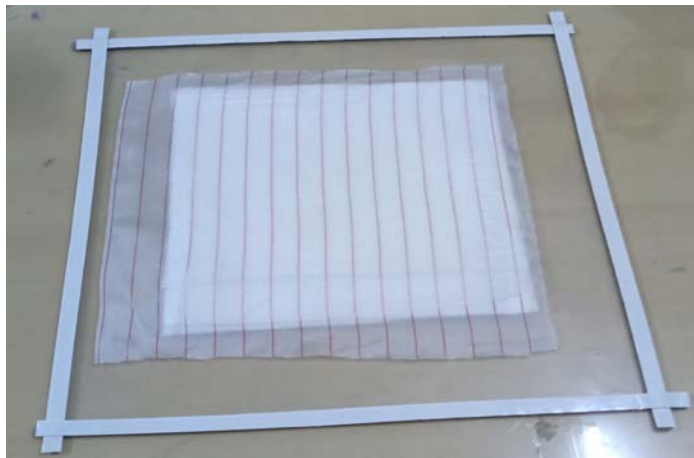
Reçine geçirgenliğini sağlayan ayırcı katın üzerine bu naylondan geçen fazla reçineyi emmesi için reçine emici kat yerleştirilir (Nylon file) (Şekil 2.8).



**Şekil 2.8.** Nylon file konulması

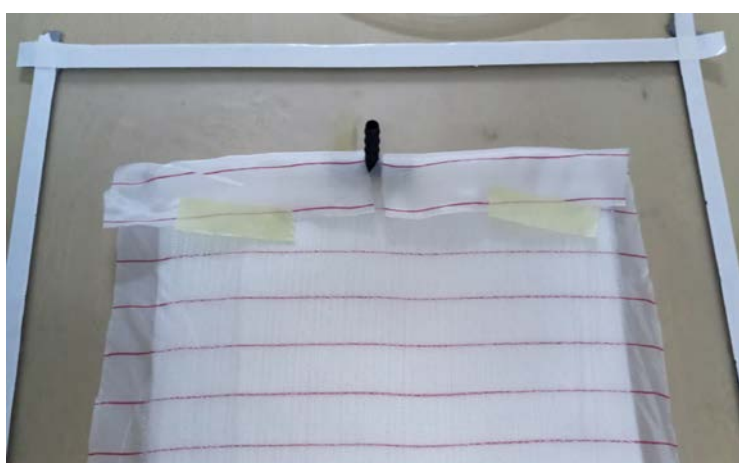
Vakum torbası cam üzerine yapıştırdığımız kâğıt bantlardan taşacak şekilde kesilir.

Kâğıt bantlar sökülmüş sökülen bant izlerine hava boşluğu kalmayacak şekilde vakum bandı yapıştırılır (Şekil 2.9).



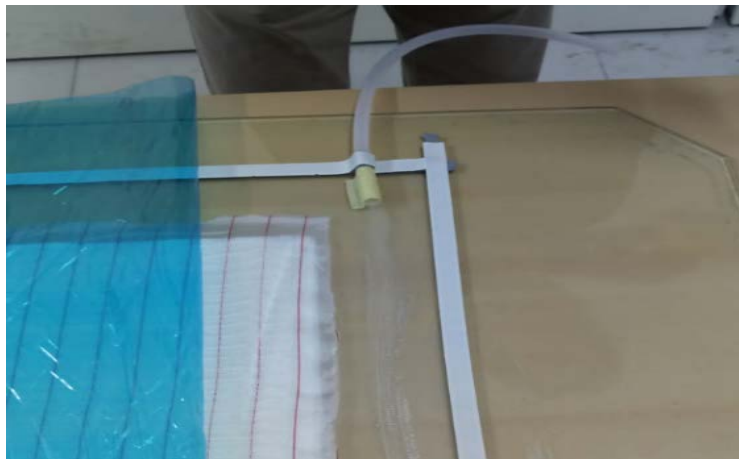
**Şekil 2.9.** Vakum bandı yapıştırılması

Reçine hattı döşenir. Burada şeffaf hortum kullanılır ve ucuna spiral hortum takılır. Uzun kesilen sök-at kumaşı螺旋 hortum etrafına sarılır ve sabit kalması amacıyla kâğıt bant yapıştırılır (Şekil 2.10).



**Şekil 2.10** Reçine hattı

Vakum hattı döşenir. Vakum hattı akışı sağlamak amacıyla reçine hattının karşısına gelecek şekilde döşenir. Vakum hortumunun ucuna vakum torbasına zarar vermemesi için kâğıt bant sarılır (Şekil 2.11).



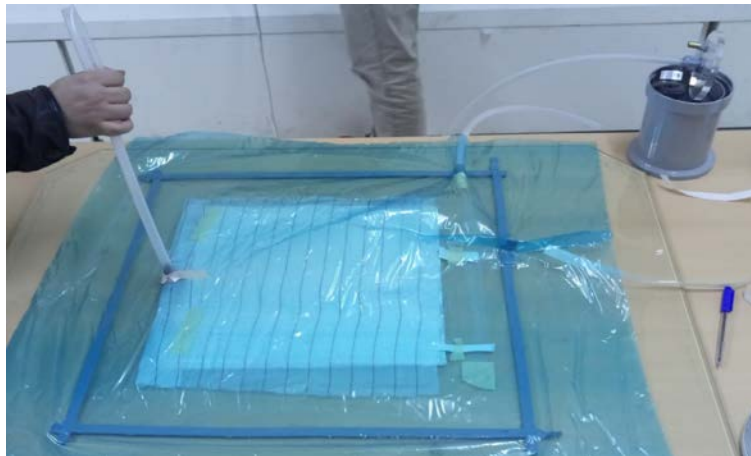
**Şekil 2.11.** Vakum hattı

Döşenen vakum hattı ucuna hava akışını sağlamak amacıyla naylon file ve cam elyaf ile naylon file arasına kâğıt konulur.

Reçine ve vakum hattı döşendikten sonra vakum torbası yerleştirilir. Reçine geçişini sağlamak amacıyla spiral hortumun bulunduğu noktadan vakum torbası delinir ve delinen noktadan sızdırmazlık sağlanacak şekilde yapıştırılır.

Vakum torbası daha önceden cam üzerine yerleştirilmiş olan çift taraflı vakum bantları ile sızdırmaz olarak yapıştırılır.

Hazırlık aşamaları tamamlanıp reçine enjekte etmeden önce kontrol amaçlı vakumlama yapılip bir süre beklendikten sonra eğer sisteme hava geçisi yoksa reçine enjekte edilir ve vakum infüzyon işlemi gerçekleştirilir (Şekil 2.12).



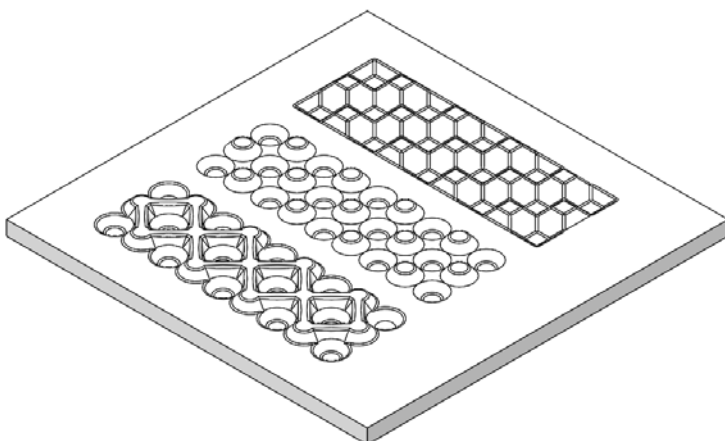
**Şekil 2.12.** Sistemin vakumlamaya hazır hali

Kompozit plaka üretiminde laminasyon epoksi HEXION MGS L285 reçine kullanılmıştır. Kullanılan reçine özelliklerine göre reçine miktarının ağırlıkça %40 oranında sertleştirici (H285) reçine ile karıştırılarak vakumlama işlemi yapılmıştır.

Plaka üretiminde 375 gr reçineye 150 gr sertleştirici konulmuş hava kabarcığı oluşmayacak şekilde 5 dakika karıştırılmıştır. Karıştırma işlemi bittikten sonra vakumlama işlemi ile reçine enjekte edilmiştir. 320x720x1 mm ölçülerinde kompozit plakalar üretilmiştir. Plaka üretiminde Q625 E10C kodlu 0/-45/90/45 Quadriaxial cam elyaf kullanılmıştır.

### **3.2.2. Kompozit Çekirdek Üretimi:**

Vakum infüzyon yöntemi kullanılarak üç çeşit formda çekirdek üretilmiştir. Çekirdek üretimi için bir adet diş, iki adet erkek kalıp tasarlanmıştır. Diş kalıp Poliüretan malzemeden 500x500x30mm ölçüsünde tasarlanmıştır (Şekil 3.1).

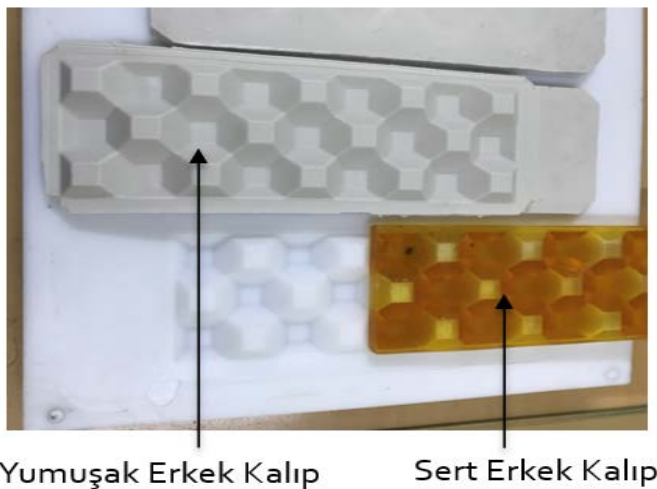


**Şekil 3.1.** Üretilen diş kompozit çekirdek kalıbı

Sert ve Yumuşak olmak üzere iki adet erkek kalıp üretilmiştir (Şekil 3.2) :

Sert kalıp cam takviyeli elyaf kompozitleri kalıp üzerinde dizilimini yapıldıktan sonra elyafın diş kalıp yüzeyi ile tam temas sağlaması için tasarlanmıştır.

Yumuşak kalıp vakumlama esnasında elyafa baskı yaparak elyafın diş kalıbin tam şeklini almasını sağlar. Yumuşak kalıp sert kalıp yardımı ile kalıp şeklini alan elyafın üzerine kapatılıp vakumlama işlemi yapılır.



**Şekil 3.2.** Üretilen erkek kompozit çekirdek kalıbı

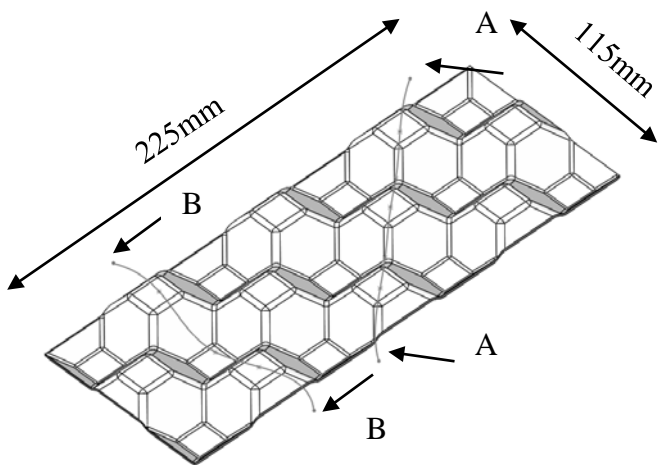
Üretilerek her bir çekirdek boyutu 110x340x20 mm'dir. Kalıp ile çekirdek üretimi için elyaflar 160x410x0.5mm boyutlarında 2 adet kesilmiştir ve birbirine simetri olacak şekilde kalıba yerleştirilmiştir. Kalıba yerleştirilen elyaflara kalıbin şeklini vermek için sert erkek kalıp ile kalıp kapatılmıştır. Bu işlem tamamlandıktan sonra yumuşak erkek kalıp kalıba yerleştirilerek vakumlama işlemine geçilmiştir.

Üretimde HEXION MGS H285 kodlu 300 gr. Reçine ve HEXION MGS H287 kodlu 120 gr. Sertleştirici kullanılmıştır.

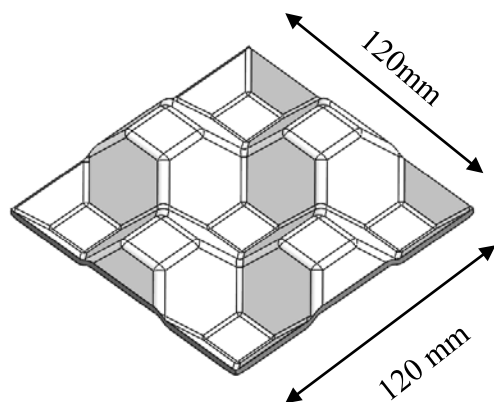
### **3.2.3. Üretilen Kompozit Çekirdek Formları:**

#### **a) Piramit Formlu Kompozit Çekirdek**

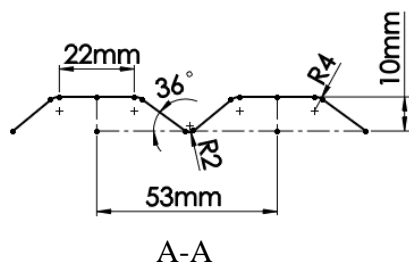
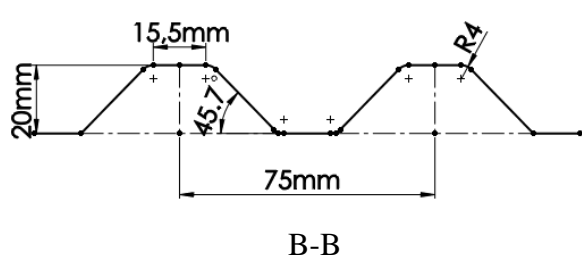
Eğilme(Şekil 3.3) ve Basma (Şekil 3.4) testleri için kullanılacak piramit formlu kompozit çekirdeğin yapısı aşağıdaki gibidir.



**Şekil 3.3.** Eğilme Testi Piramit Çekirdek

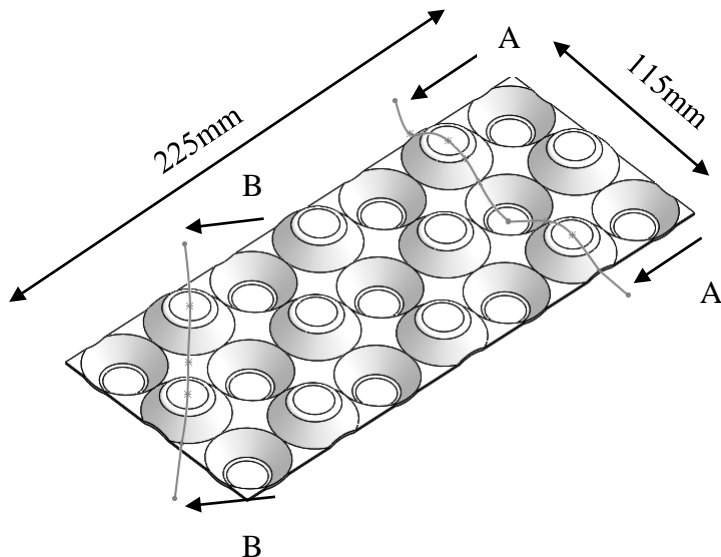


**Şekil 3.4.** Basma Testi Piramit Çekirdek Formu

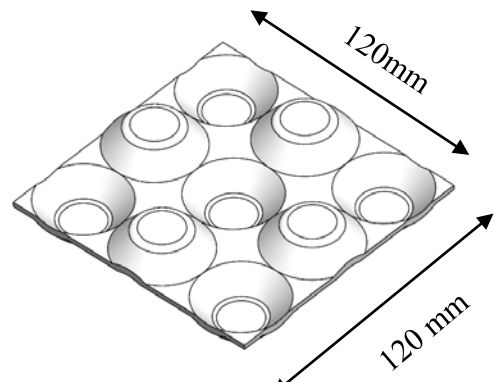


### b) Konik Formlu Kompozit Çekirdek

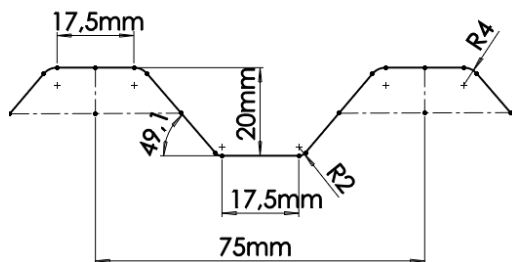
Eğilme(Şekil 3.5) ve Basma (Şekil 3.6) testleri için kullanılacak konik formlu kompozit çekirdeğin yapısı aşağıdaki gibidir.



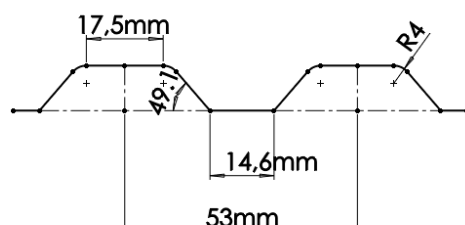
**Şekil 3.5.** Eğilme Testi Konik Çekirdek



**Şekil 3.6.** Basma Testi Konik Çekirdek



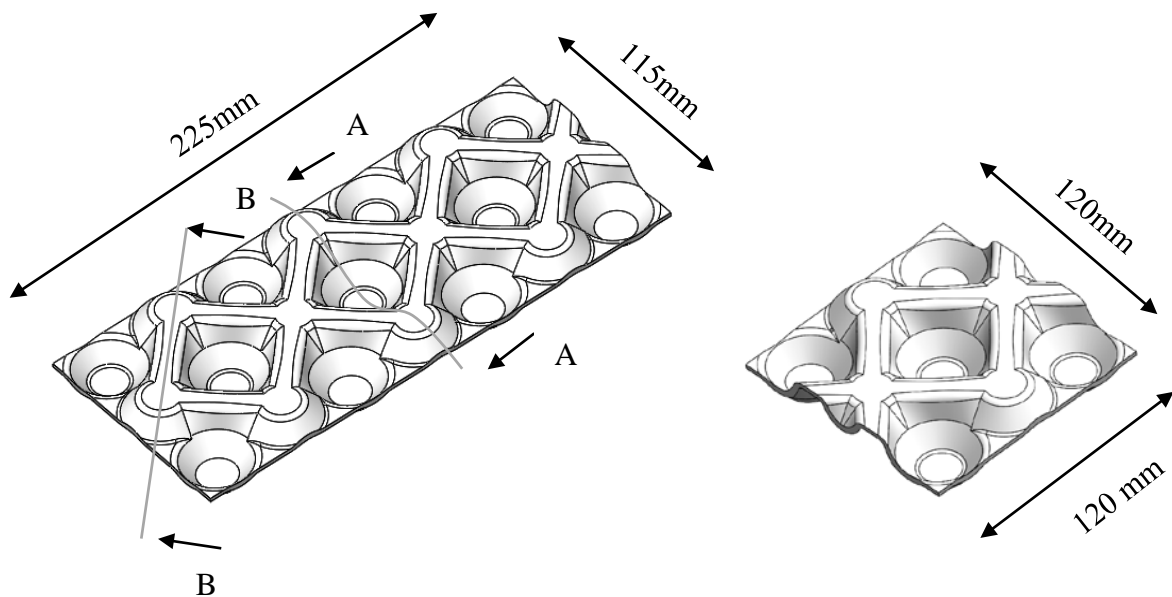
B-B



A-A

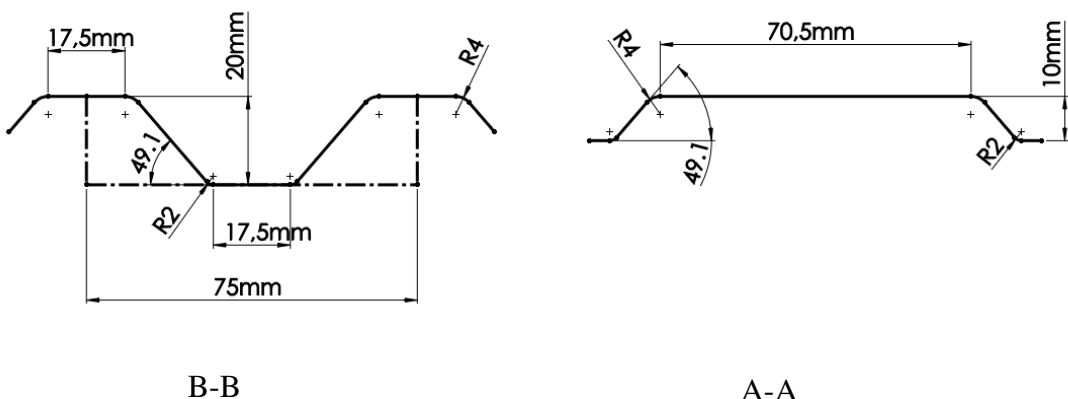
### c) Federli Konik Formlu Kompozit Çekirdek

Eğilme(Şekil 3.7) ve Basma (Şekil 3.8) testleri için kullanılacak federli-konik formlu kompozit çekirdeğin yapısı aşağıdaki gibidir.



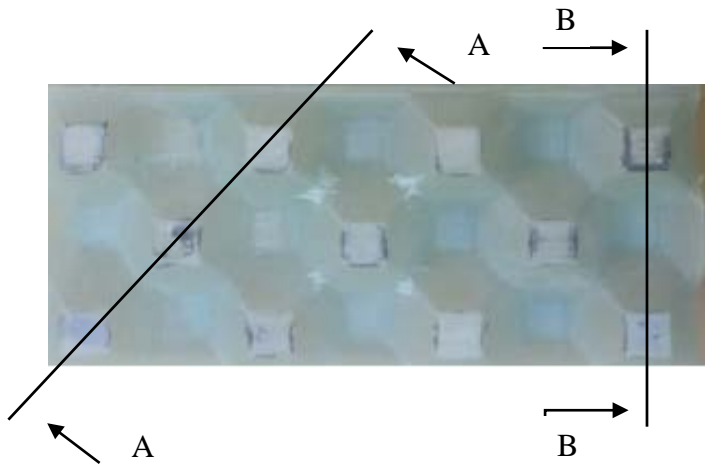
**Şekil 3.7.** Eğilme testi piramit konik çekirdek

**Şekil 3.8.** Basma testi piramit konik çekirdek

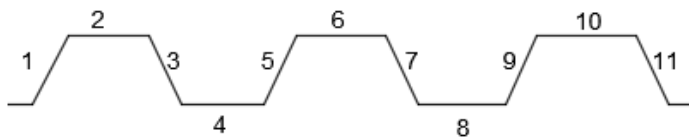


### 3.2.4. Üretilen Çekirdeklerin Kalınlık Dağılımları

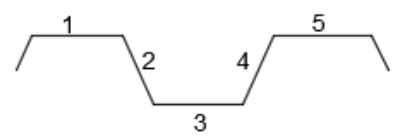
Üretimi tamamlanan üç farklı kompozit çekirdeklerin kesit görünümü Şekil 3.9 de, kesit kalınlıkları ise Çizelge 3.1 ve Çizelge 3.2 'de verilmiştir. Bu çizelgeler incelendiğinde federli konik yapının taban kısmında ki kalınlığın daha fazla çıktıığı anlaşılmıştır. Bunun sebebi olarak elyafın tam olarak kalıbın şeklini alamayıp fazla reçinenin kalıbın tabanını doldurmasıdır.



**Şekil 3.9.** Üretilen çekirdeklerin kesit görünümü



A-A Kesiti



B-B Kesiti

**Çizelge 3.1.** A-A kesiti çekirdek kalınlık ölçütleri

A-A Kesiti	1	2	3	4	5	6	7	8	9	10	11
Piramit	2,1	2,57	2,12		2,35	2,92	2,55		2,43	3,67	2,7
Konik	1,97	2,88	1,82	2,1	1,7	2,19	2,12	2	1,75	2,9	2,13
Federli Konik	1,53	2,75	2,05	1,5	2,1	2,28	1,98	1,2	2,14	2,5	2,1

**Çizelge 3.2.** B-B kesiti çekirdek kalınlık ölçütleri

B-B Kesiti	1	2	3	4	5
Piramit	0,95	1,7	1,82	2,28	1,33
Konik	1,23	1,42	2,74	1,3	1,33
Federli Konik	2,57	2,26	1,8	1,96	2,04

### 3.2.5. Kompozit Panel Üretimi:

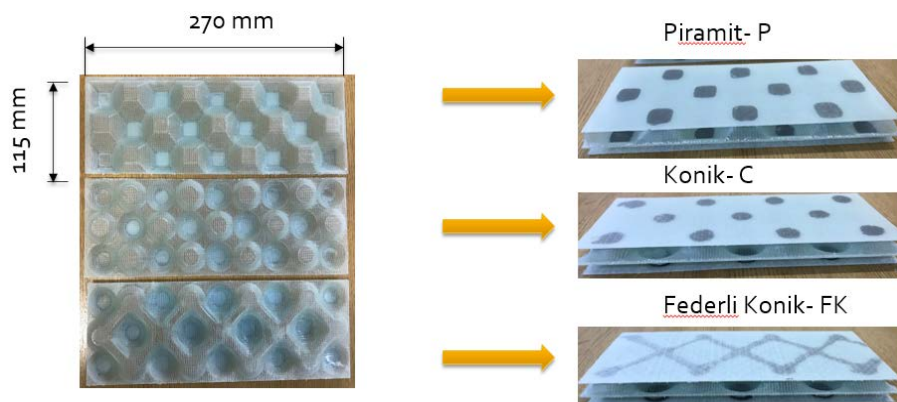
İki kompozit plaka arasına yapıştırıcı yardımı ile yerleştirilen farklı formlarda kompozit plakann (çekirdeğin) birleştirilmesine kompozit panel denir.

Kompozit paneller havacılık sektörü, denizcilik sektörü, inşaat ve makine sektörleri gibi birçok alanda kullanılmaktadır. Bu panellerin en önemli özellikleri hafif ve yüksek mukavemete sahiptirler.

Üretilen kompozit çekirdek ve plakalar birleştirilerek panel haline getirilip eğilme ve basma testleri uygulanacaktır.

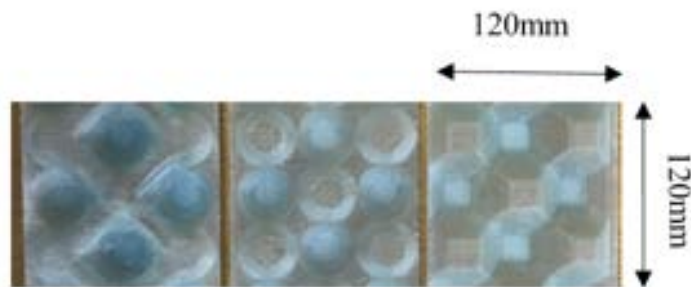
Eğilme testi için plakalar elmas uçlu şerit testere ile 270x115x1 mm ölçüsünde kesilmiştir.

Aynı şekilde kompozit çekirdekler 270x115x1 mm ölçüsünde kesilip plaka ve çekirdekler birbirine J-B WELD yapıştırıcı ile birbirlerine yapıştırılmıştır (Şekil 3.10).



**Şekil 3.10.** Eğilme testi için üretilen paneller

Basma testi için plakalar elmas uçlu şerit testere ile 120x120x1 mm ölçüsünde kesilmiştir (Şekil 3.11).



**Şekil 3.11.** Basma testi için üretilen paneller

### **3.2.6. Eğilme Testleri**

Testler Çorlu Mühendislik Fakültesi İnşaat Mühendisliği bölümünde bulunan 100 kN yük uygulama kapasiteli ALŞA marka makinede yapılmıştır. 3 nokta eğilme ve testleri ASTM C-393 test standartlarına göre yapılmıştır. Numunenin test anı Şekil 3.12 'de gösterilmiştir. Test 6mm/dk. hızla gerçekleştirılmıştır. Testlerde her bir panel için üç ayrı numune kullanılmıştır.



**Şekil 3.12. Eğilme testi**

### **3.2.7. Basma Testleri**

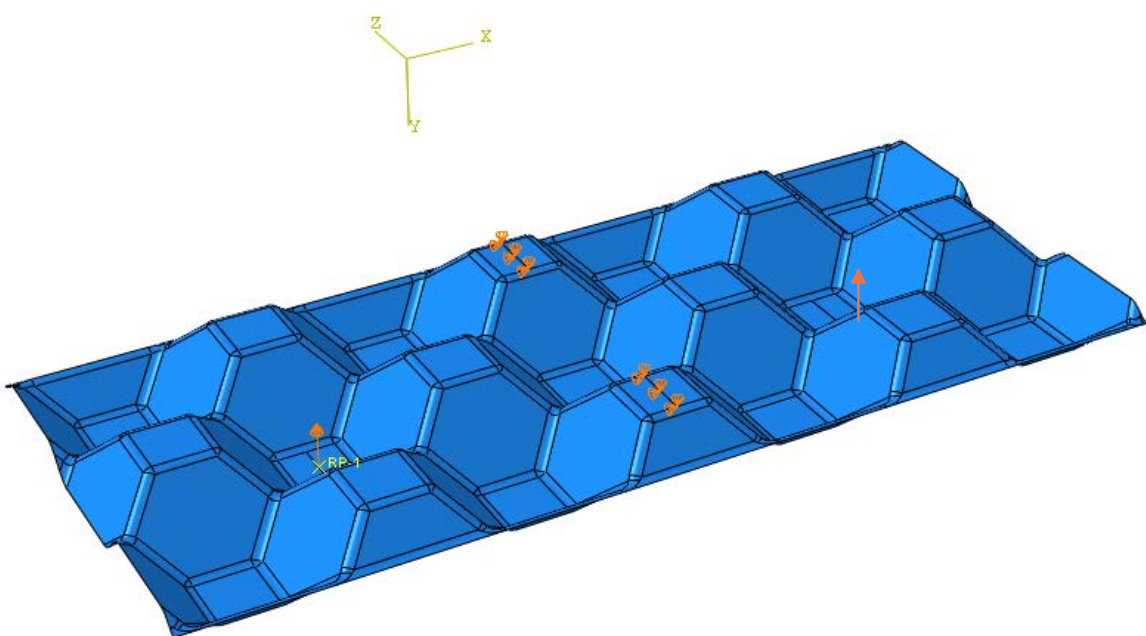
Basma testi aynı makinede 6mm/dk. hızla gerçekleştirilmiş olup Şekil 3.13 de gösterilmiştir.



**Şekil 3.13. Basma testi**

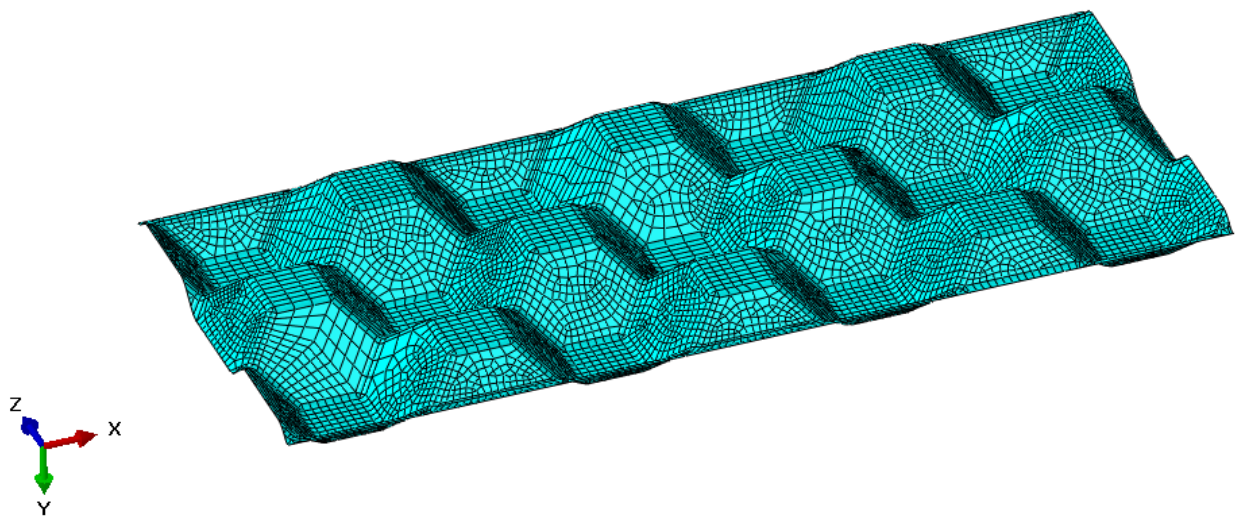
### 3.2.8. Sayısal Analiz

Sonlu elemanlar yöntemi kullanılarak analizler yapılmıştır. Analiz işlemi Abaqus paket programı kullanılarak yapılmıştır. Model ile 3 nokta eğilme testi analiz edilmiş olup piramit şekilli yapının sonlu elemanlar modeli Şekil 3.14 ‘te gösterilmiştir. Numunenin alt kısmında eğme fikstürünün silindirik elemanlarına denk gelen çizgisel kısımlar y yönünde 30 mm hareketli, fikstürün üst kısmındaki silindirik elemana denk gelen çizgisel kısım x ve y yönünde sınırlandırılmış şekilde tanımlanmıştır.



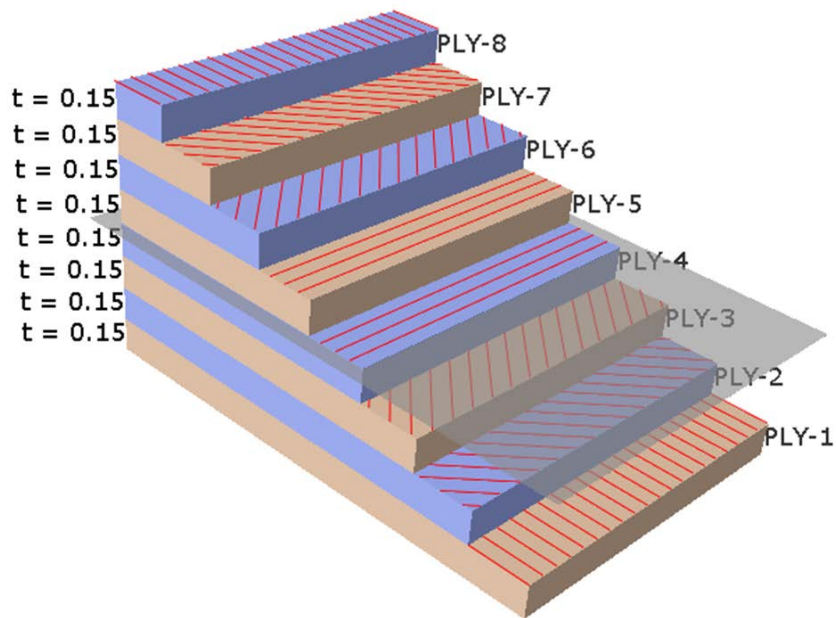
**Şekil 3.14.** Piramit çekirdek yapısının sonlu elemanlar modeli ve sınır koşulları

Kompozit kabuk malzemeleri kabuk elemanlar kullanılarak modellenmiş olup SR8 kabuk elemanlar kullanılmıştır. Şekil 3.15 ‘te seçilmiş iki modelin ağ yapısı gösterilmiş olup 9478 elemandan oluşmuştur.



**Şekil 3.15.** Piramit çekirdek yapısının ağ görüntüsü

Fiber yönelimlerini tanımlamak için kabuk elemanlarda kompozit istifleme (composite layup) yöntemi kullanılmıştır. Kabuk elemanlarda ki fiber oryantasyonları Şekil 3.16 ‘da gösterilmiştir olup 8 kat lamina kullanılmıştır. Kabuk kalınlığı 1.2 mm olarak ölçüldüğünden her bir laminanın kalınlığı 0.15 mm olarak alınmıştır. Her bir katmanın mekanik özelliği Çizelge 3.3 ‘te verilmiştir.



**Şekil 3.16.** Kabukta kullanılan fiber yönelimleri

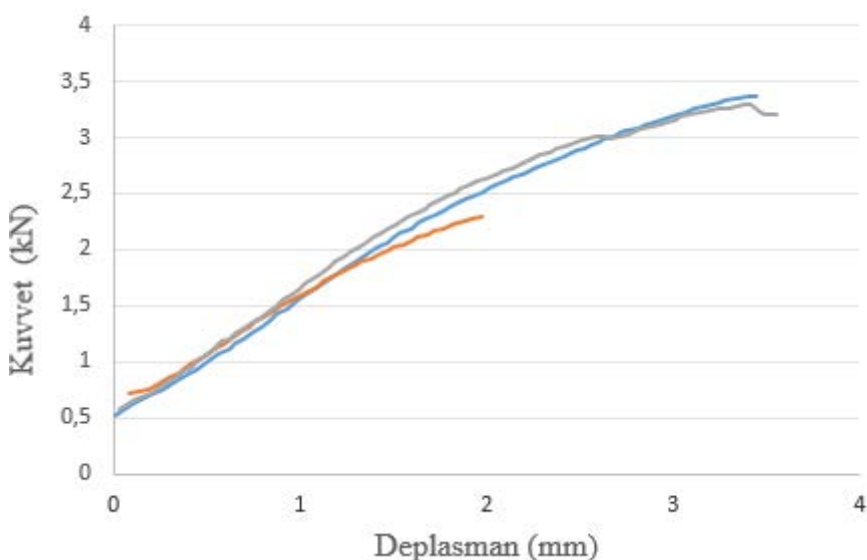
**Çizelge 3.3.** Quadriaxial fiber epoxy sistem katmanın mekanik özelliklerini (Uzal ve arkadaşları, 2018)

ÖZELLİK	DEĞERİ
Fiber yönünde elastisite modülü [GPa]	30
Fiber eksenine dik yönünde elastisite modülü [GPa]	5
Yüzeyde Poisson oranı	0,29
Kayma modülü [GPa]	1.8
Fiber yönünde çekme dayanımı [MPa]	612
Fiber yönünde basma dayanımı [MPa]	-600
Fiber eksenine dik yönünde çekme dayanımı [MPa]	69
Fiber eksenine dik yönünde basma dayanımı [MPa]	-120
Kayma dayanımı [MPa]	40

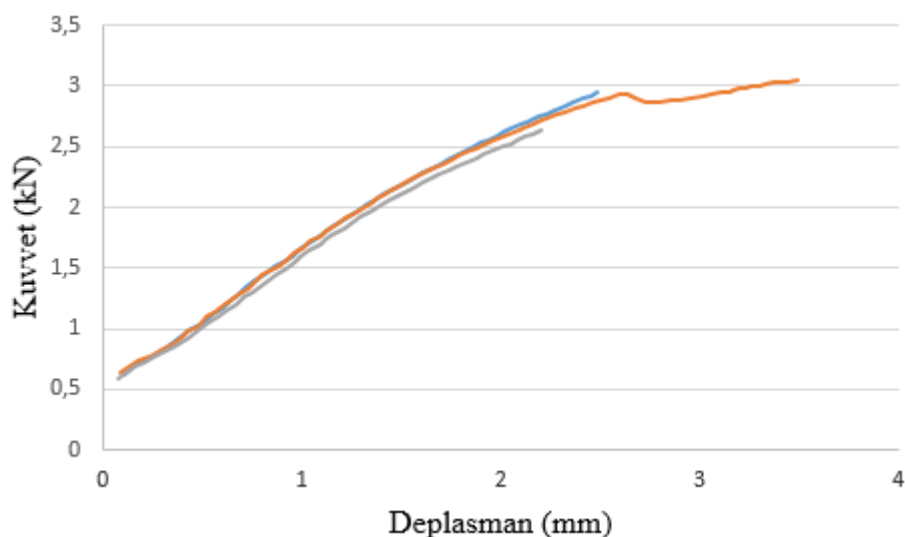
## 4. BULGULAR ve TARTIŞMA

### 4.1. Eğilme Test Sonuçları

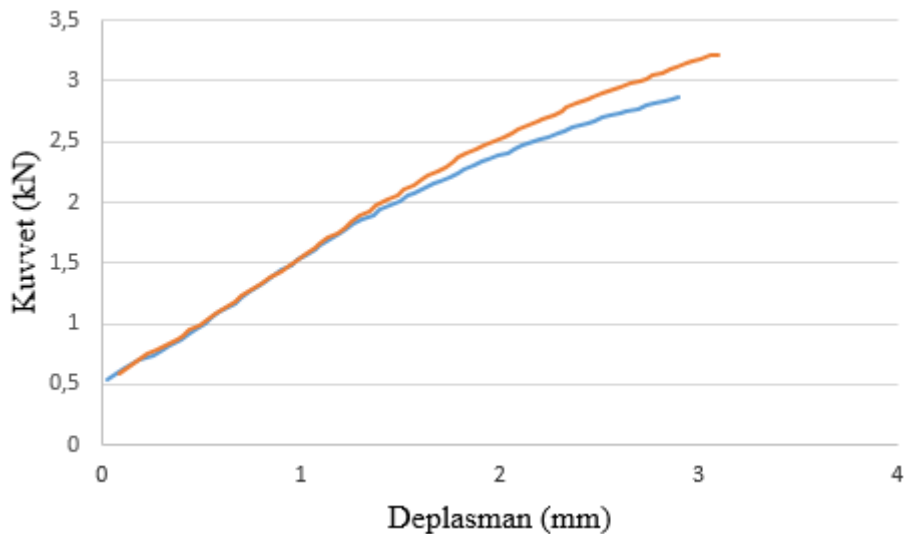
Üç farklı çekirdek yapısıyla üretilen kompozit panel numunelerinin eğilme testleri gerçekleştirilmiş olup kuvvet-deplasman eğrileri sırasıyla Piramit eğilme (PE), Konik eğilme (KE), Federli Konik Eğilme (FKE) Şekil 4.1, Şekil 4.2, Şekil 4.3 'te verilmiştir. Tüm eğrilerin aynı grafik üzerinde gösterilişi Şekil 4.4 'te verilmiştir.



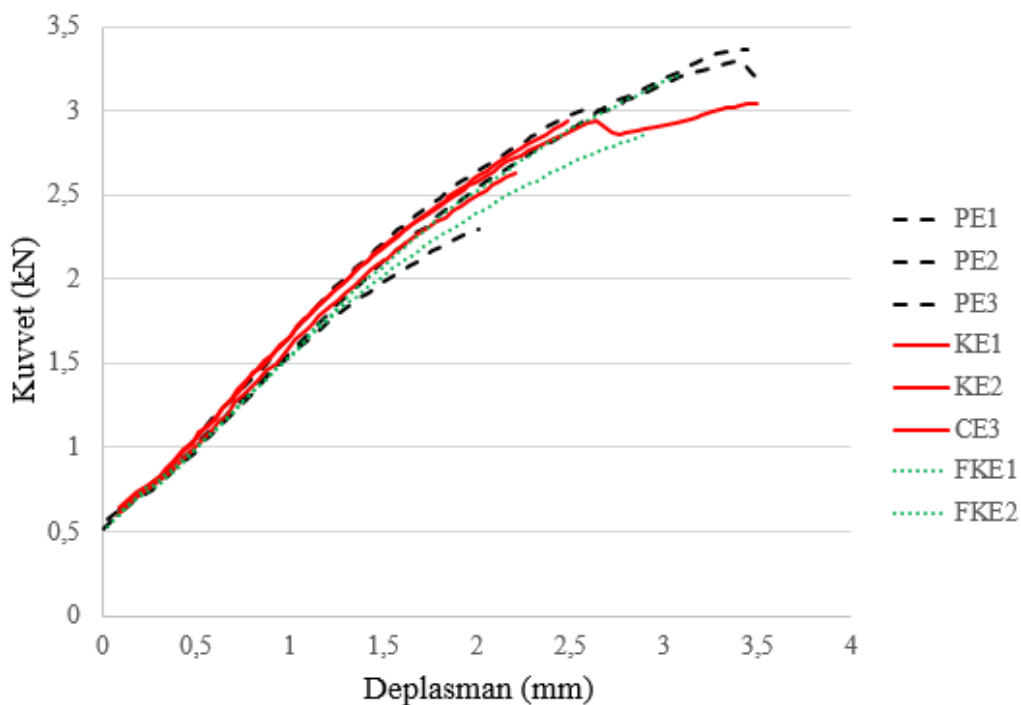
Şekil 4.1. Piramit Eğilme için 3 nokta eğilme testi altında yük-deplasman eğrisi



Şekil 4.2. Konik Eğilme için 3 nokta eğilme testi altında yük-deplasman eğrisi

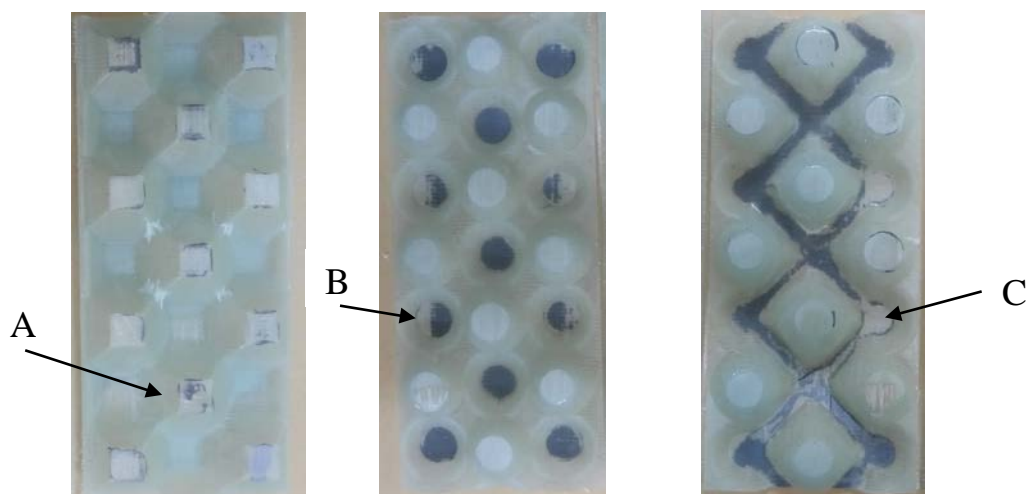


**Şekil 4.3.** Federli Konik Eğilme için 3 nokta eğilme testi altında yük-deplasman eğrisi



**Şekil 4.4.** Tüm panellerin 3 nokta eğilme testi altında yük-deplasman eğrileri

Şekil 4.4 'te görüldüğü gibi üç farklı çekirdek yapısının hemen hemen aynı yük taşıma kapasitesi olduğu gözlemlenmiştir. Fakat Piramit çekirdek yapılı kompozit panelin en fazla yükü taşıdığı görülmüştür. Konik çekirdek yapılı kompozit yapının daha az yükü taşıdığını gözlemlenmiştir. Piramit çekirdek yapının yapıştırma yüzey alanlarının yüksek oluşu üst ve alt kompozit plakalarla bağ gücünün artmasını sağlamıştır aynı zamanda piramit yapıda keskin köşelerin bulunması eğilmeye karşı daha mukavemetli olmasına neden olmaktadır. Eğilme testlerindeki ana başarısızlık yapışkan başarısızlığı olarak görülmüştür. Bu durum Şekil 4.5 ve Şekil 4.6 da gösterilmiştir.



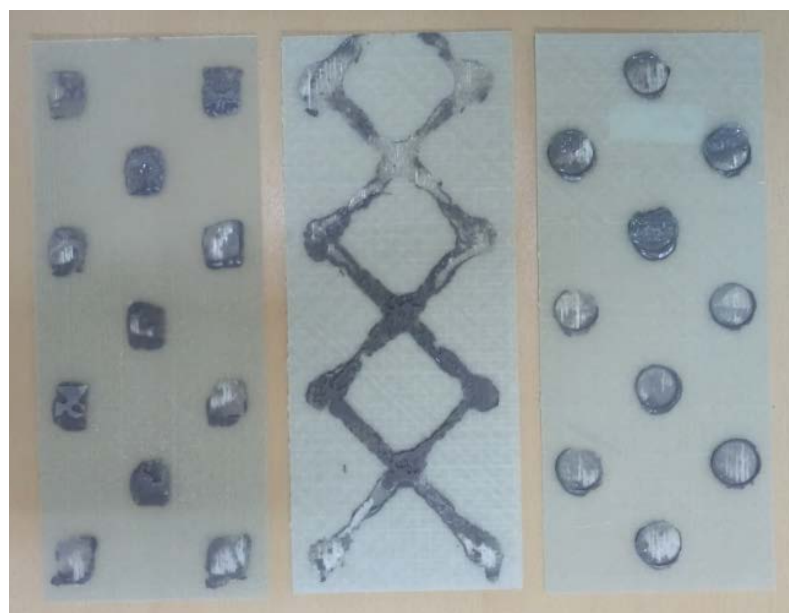
**Şekil 4.5.** Çekirdekte oluşan yapıştırıcı hatası



A Detayı

B Detayı

C Detayı



**Şekil 4.6.** Plakalarda oluşan yapıştırıcı hatası

Aynı zamanda üst plaka çekirdek ayrılmazı yapıştırıcının haricinde epoksi reçine kısmından da gözlemlenmiştir. Bu durum Şekil 4.7 te gösterilmiştir.

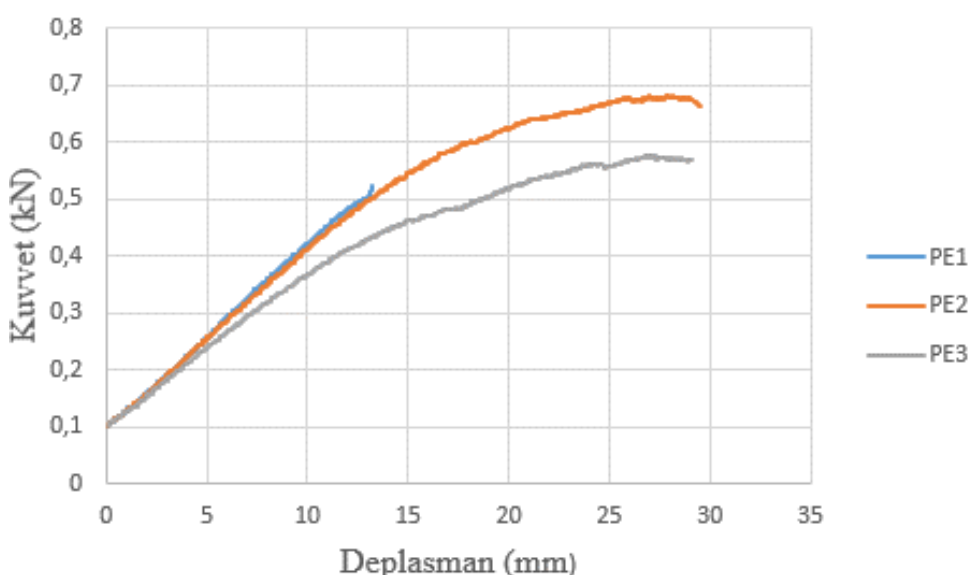


**Şekil 4.7.** Epoksi reçine çekirdek ayrılması

Yapıştırma noktalarından plakalar birbirlerinden ayrıldığı için düşündüğümüz çekirdek tasarımlarının eğilme rijitliği gözlemlenmemiştir. Bu yüzden alt ve üst plakalar çekirdekten ayrılarak tekrardan çekirdeklere eğilme testi uygulanmıştır.

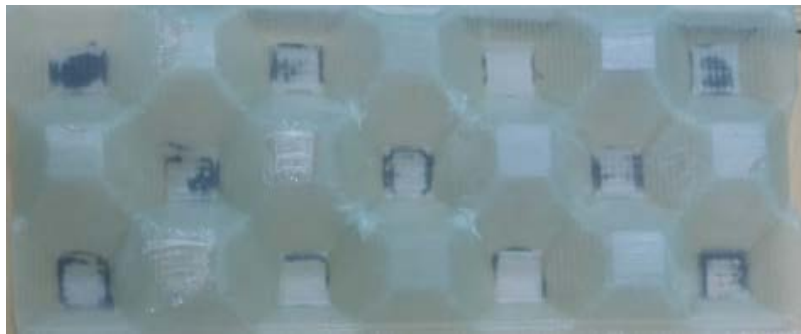
#### 4.2. Çekirdeklerdeki Eğilme Test Sonuçları

Üç farklı çekirdek yapısıyla üretilen Kompozit numunelerinin eğilme testleri gerçekleştirilmiş olup kuvvet-deplasman eğrileri sırasıyla Piramit eğilme (PE), Konik eğilme (KE), Federli Konik Eğilme (FKE) Şekil 4.8, Şekil 4.10, Şekil 4.12 te verilmiştir. Tüm eğrilerin aynı grafik üzerinde gösterilişi Şekil 4.16 te verilmiştir.

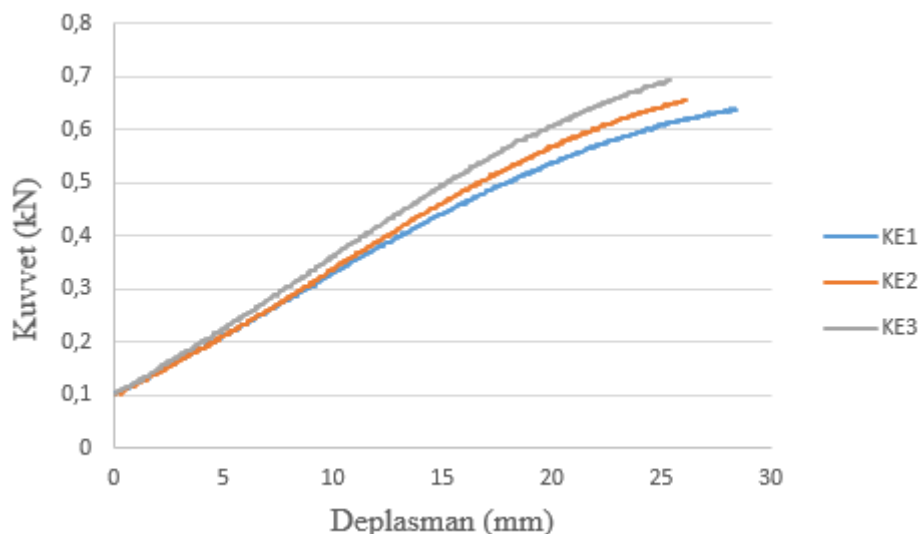


**Şekil 4.8.** Piramit çekirdek için 3 nokta eğilme testi altında yük-deplasman eğrisi

Piramit çekirdekte eğilme testi sonrası lokmaların birleştiği köşe kısımlarında hasarlar oluştuğu gözlemlenmiştir (Şekil 4.9).

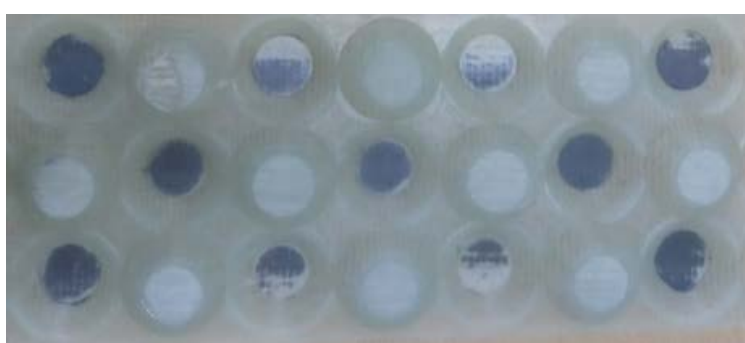


**Şekil 4.9.** Piramit çekirdekte eğilme testi sonrası oluşan hasar

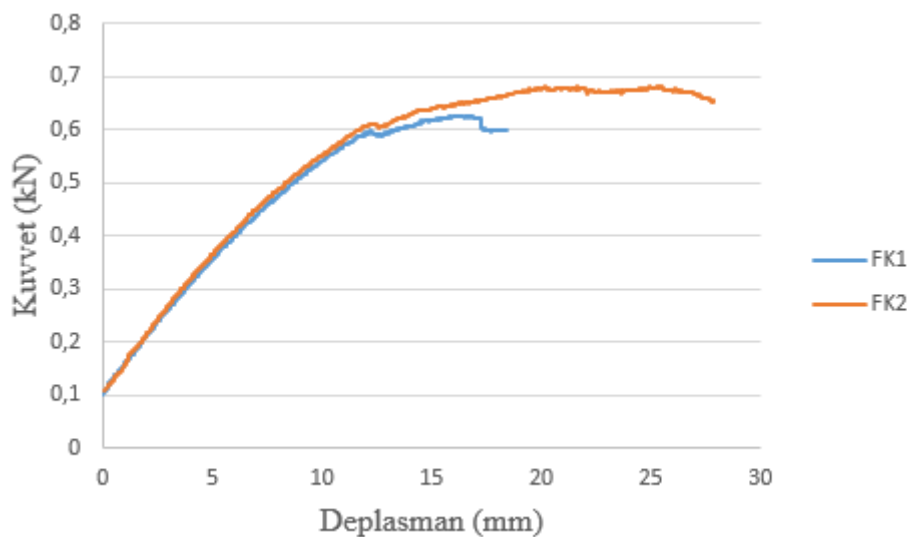


**Şekil 4.10.** Konik Eğilme için 3 nokta eğilme testi altında yük-deplasman eğrisi

Dairesel çekirdekte eğilme testi sonrası herhangi bir hasara rastlanmamıştır (Şekil 4.11).



**Şekil 4.11.** Dairesel çekirdekte eğilme testi sonrası oluşan hasar



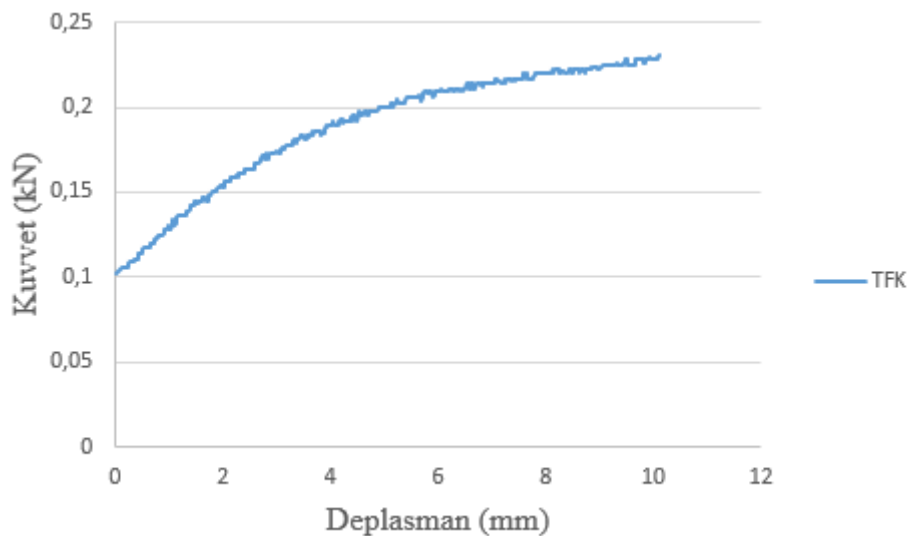
**Şekil 4.12.** Federli Konik Eğilme için 3 nokta eğilme testi altında yük-deplasman eğrisi

Federli dairesel çekirdekte çekirdeklerin alt kısımlarında hasar meydana geldiği gözlemlenmiştir (Şekil 4.13).



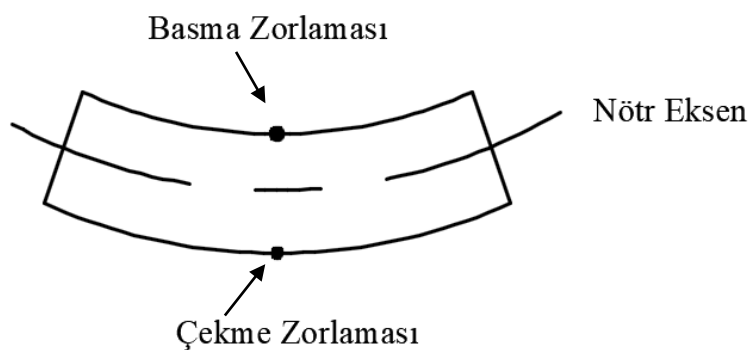
**Şekil 4.13.** Federli Dairesel çekirdekte eğilme testi sonrası oluşan hasar

Federli dairesel çekirdeğe eğilme testini ters uyguladığımızda eğilme direncinin düşük olduğu gözlemlenmiştir (Şekil 4.14).

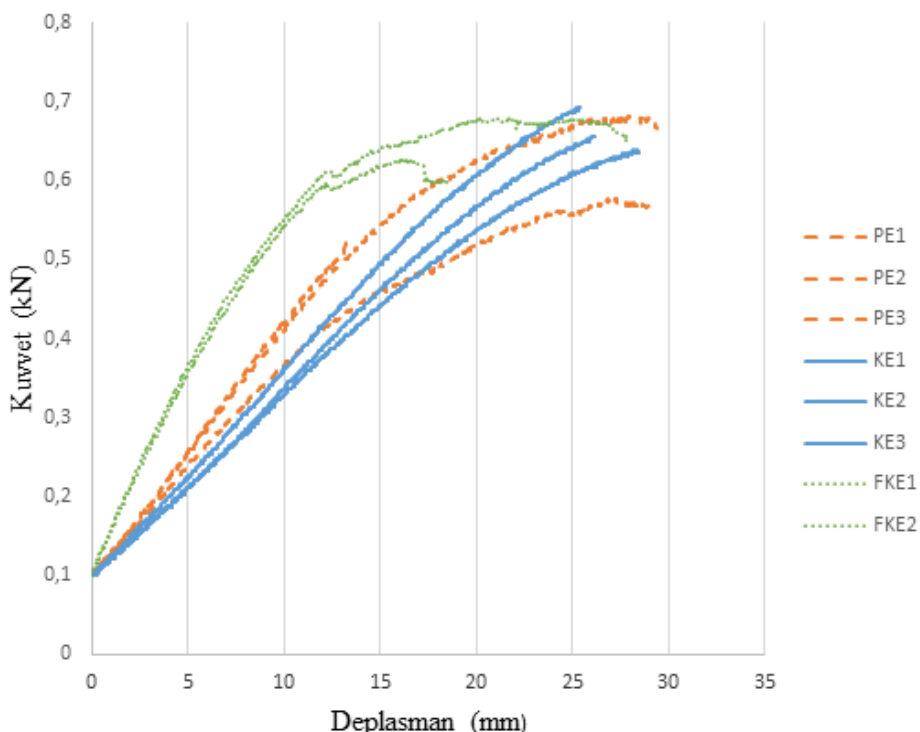


**Şekil 4.14.** Federli Dairesel çekirdekte ters eğilme testi sonrası oluşan hasar

Bunun nedeni çekirdeğin düz tabakasının çekirdeğin bir yüzeyine sıfır konumda olmasından kaynaklanmaktadır. Eğilme testi uygulanan malzemenin bir yüzeyi basmaya maruz kalırken diğer yüzeyi çekmeye maruz kalmaktadır. Şekil 4.15 ‘te şematik olarak gösterilmiştir. Federli konik çekirdeğin yapısı gereği bir yüzünde boşluklar bulunmaktadır ve bu da çekirdeğin eğilme direncini düşürmektedir.



**Şekil 4.15.** Eğilme zorlaması şematik gösterimi

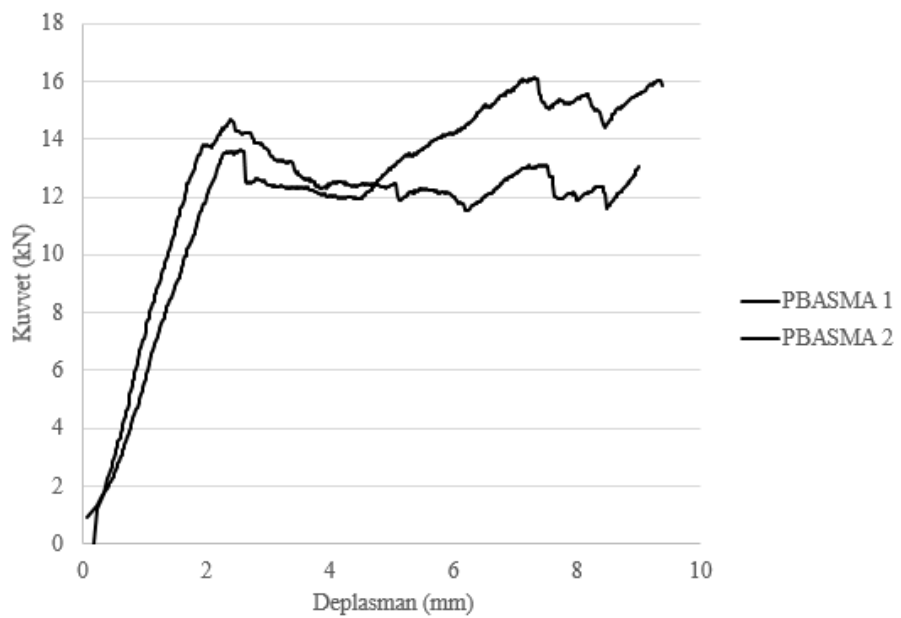


**Şekil 4.16.** Tüm çekirdeklerin 3 nokta eğilme testi altında yük-deplasman eğrileri

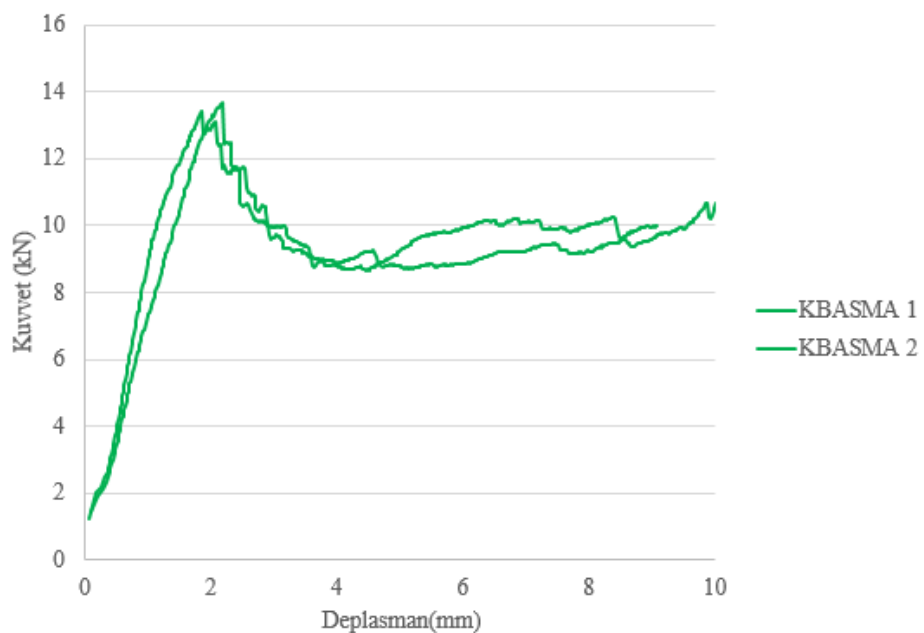
Şekil 4.16 incelendiğinde federli konik çekirdek yapısının eğilme rijitliği diğer yapılara göre daha yüksek çıkmıştır. Eğilme rijitliği en düşük çıkan tasarım konik şekilli çekirdek yapısıdır. Bunun nedeni rijitliği artıracak tabakanın eksende yoğunlaşmasıdır.

#### 4.3. Basma Test Sonuçları

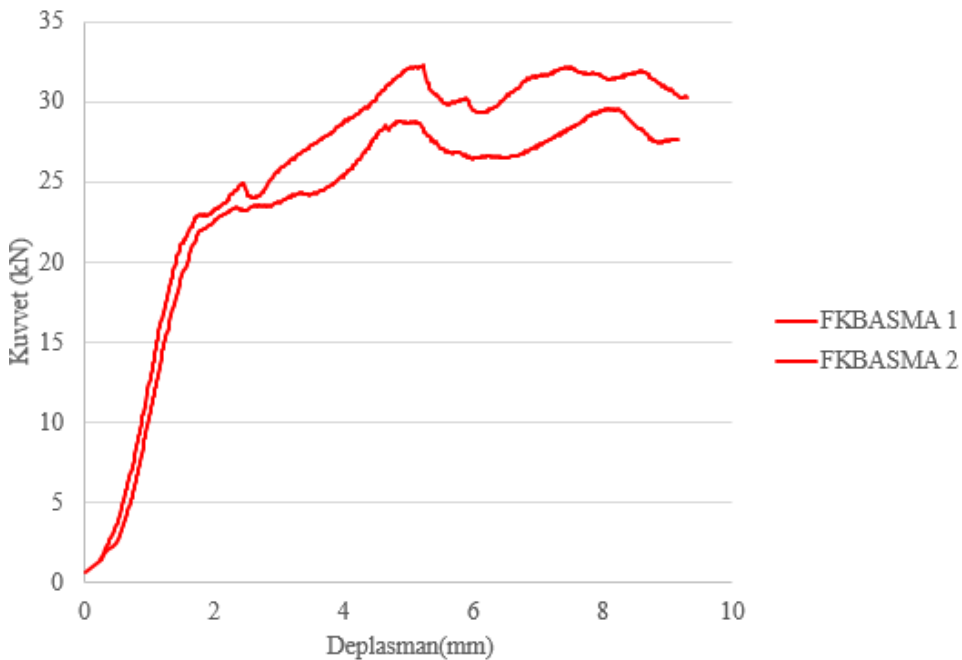
Üç farklı çekirdek yapısıyla üretilen kompozit panel numunelerinin basma testleri gerçekleştirilmiş olup kuvvet-deplasman eğrileri sırasıyla Piramit basma (PB), Konik basma (KB), Federli Konik basma (FKB) Şekil 4.17, Şekil 4.18, Şekil 4.19 ‘da verilmiştir. Tüm eğrilerin aynı grafik üzerinde gösterilişi Şekil 4.20 ‘te verilmiştir.



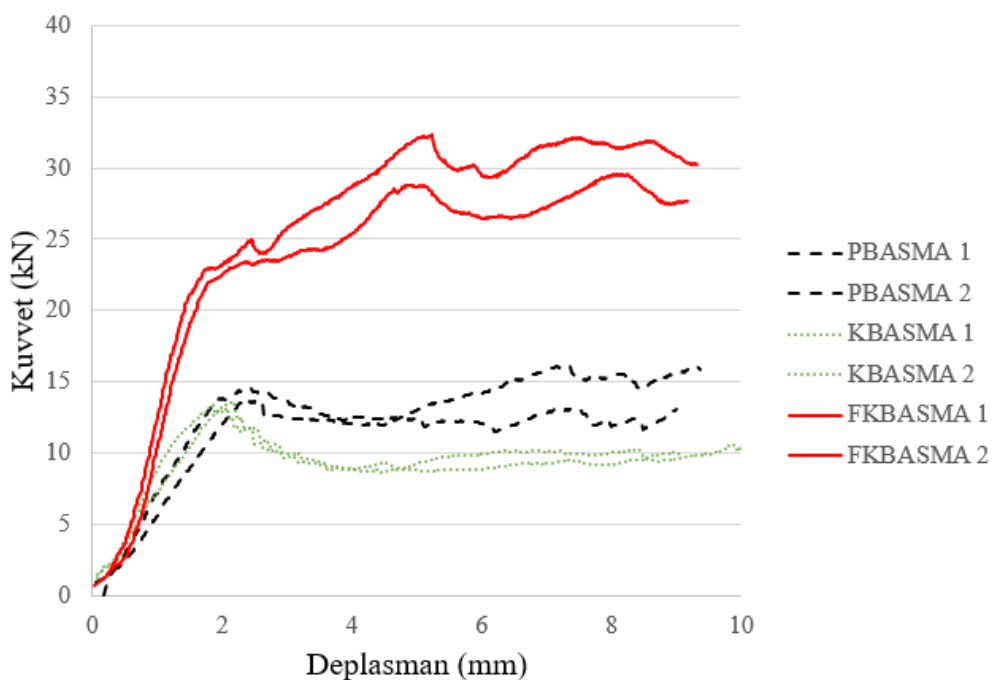
**Şekil 4.17.** Piramit basma testi altında yük-deplasman eğrisi



**Şekil 4.18.** Konik basma testi altında yük-deplasman eğrisi



Şekil 4.19. Federli basma testi altında yük-deplasman eğrisi



Şekil 4.20. Tüm Panellerin basma yükü altındaki yük-deplasman eğrileri

Basma testi altında, federli-konik çekirdek yapısının örnekleri diğer tasarımlara kıyasla daha yüksek yük taşımaktadır. Federli-konik çekirdek yapının piramit ve konik çekirdek yapının yaklaşık iki katı daha fazla yük taşıdığı görülmektedir. Bunun yanı sıra eğilme rijitliği de diğer yapılara göre daha yüksek çıkmıştır.

Basma testlerinde genel olarak fiber kopması ve reçine kırılması gözlemlenmiştir. Piramit yapılı çekirdeğe uygulanan basma testinde köşelerde fiber kopması, duvarlarında ise reçine kırılması meydana geldiği gözlemlenmiştir (Şekil 4.21).



**Şekil 4.21.** Piramit yapılı çekirdek basma testi sonrası görünüm

Konik yapılı çekirdeğe uygulanan basma testinde çekirdeğin daha çok orta kısımlarında reçine kırılması ve konik olan üst kısımlarında ise fiber kopması meydana gelmiştir (Şekil 4.22).



**Şekil 4.22.** Konik yapılı çekirdek basma testi sonrası görünüm

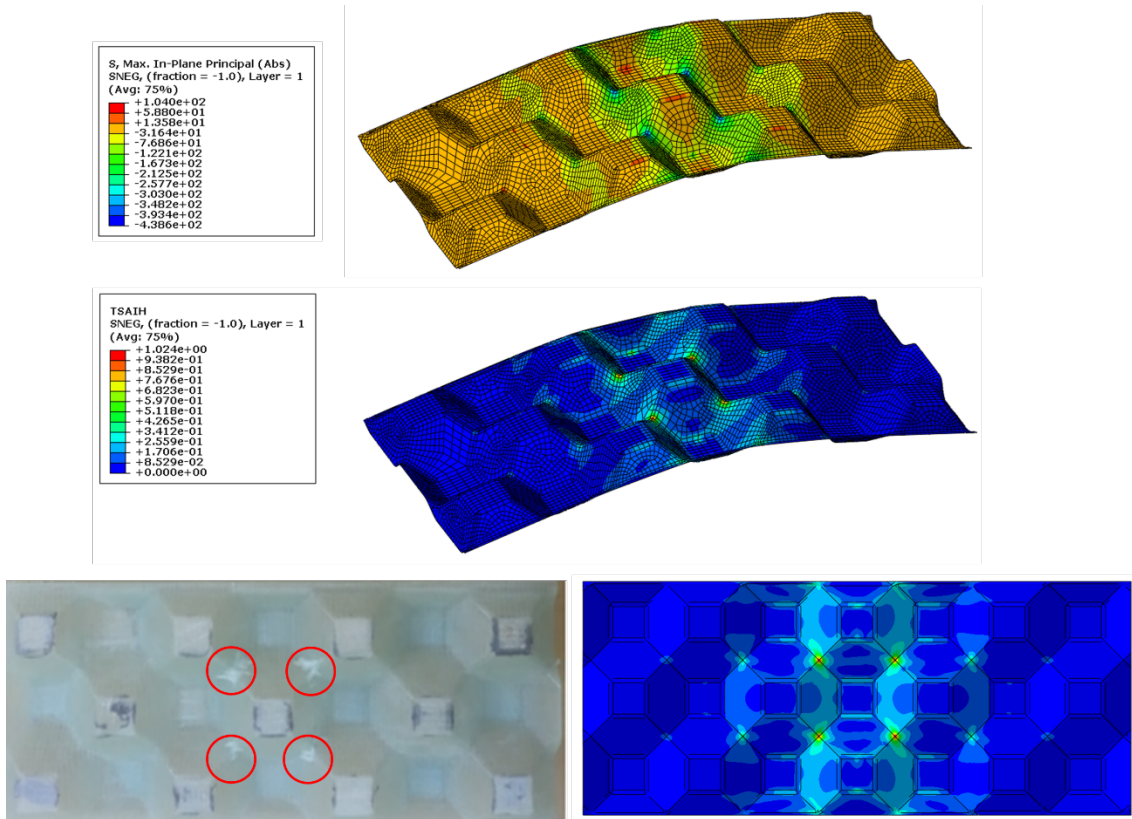
Federli konik yapılı çekirdeğe uygulanan basma testinde çekirdeğin uç noktalarında fiber kopması meydana geldiği gözlemlenmiştir (Şekil 4.23)



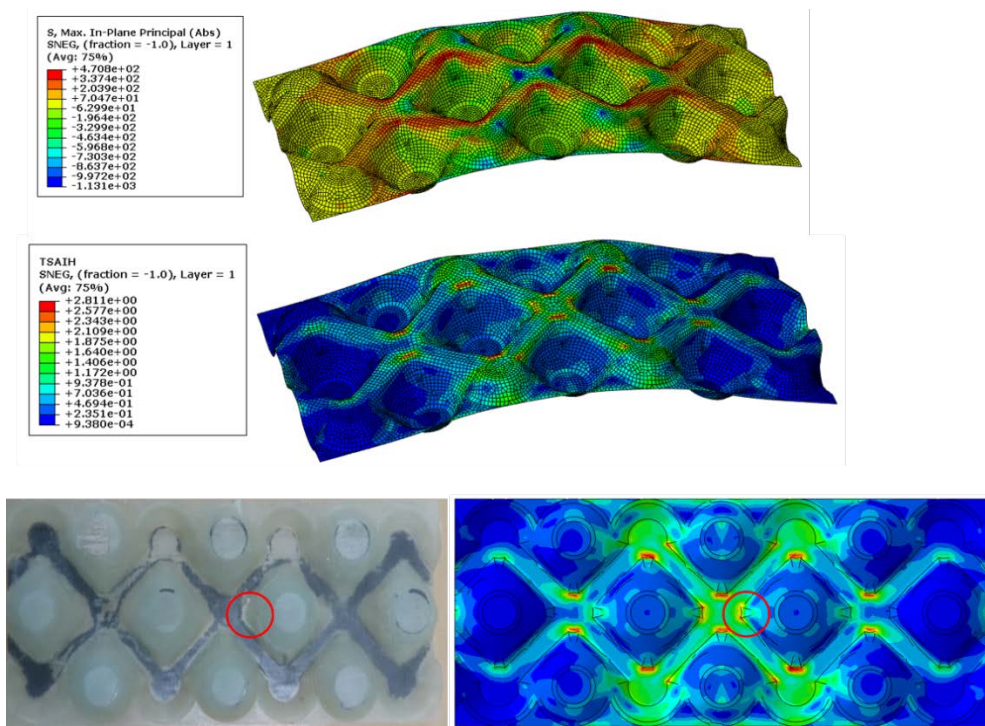
**Şekil 4.23.** Federli konik yapılı çekirdek basma testi sonrası görünüm

#### 4.4. Analiz Sonuçları

Her bir çekirdek şekli için analiz sonuçları elde edilmiştir. Piramit şekilli yapının düzlemsel maksimum gerilme dağılımı ve Tsaih hasar kriterine göre elde edilmiş hasar bölgeleri Şekil 4.24 'te gösterilmiştir. Şekilde gösterildiği üzere hasar piramit yapılarının birleşme köşelerinde meydana gelmektedir. Bu hasar bölgeleri deneysel olarak bulunan hasar bölgeleriyle birebir örtüşmektedir. Konik şekilli yapıda deney sonrasında bir hasar gözlemlenmediği için konik şekilli yapının analizi yapılmamıştır. Federli yapının gerilme değerleri ve hasar bölgeleri Şekil 4.25 'da gösterilmiştir. Her iki çekirdek formunda da sonlu elemanlar metodu kullanılarak geliştirilen sayısal modeller hasar yerlerini yeterli doğrulukta öngörmüştür.



**Şekil 4.24.** Düzlemsel maksimum gerilme dağılımı (üste), Tsaih hasar kriterine göre hasar dağılımı (orta), ve hasar bölgelerinin karşılaştırılması (altta).



**Şekil 4.25.** Düzlemsel maksimum gerilme dağılımı (üste), Tsaih hasar kriterine göre hasar dağılımı (orta), ve hasar bölgelerinin karşılaştırılması (altta).

## **5. SONUÇ ve ÖNERİLER**

Bu çalışmada, sandviç kompozit panellerin eğilme ve basma rıjitliğini artırmak amacıyla farklı çekirdek yapılı kompozit paneller incelenmiştir. Piramit, Konik, Federli-Konik olmak üzere üç tip farklı çekirdek yapılı kompozit çekirdek tasarlanmıştır. Üretilen kompozit yapılara eğilme ve basma testleri uygulanmıştır.

Üretilen kompozit panellere uygulanan eğilme ve basma testleri neticesinde eğilme testinde kompozit çekirdek ile alt ve üst kompozit panelin birbirinden yapıştırıcı hatası ve epoksi reçineden kaynaklı olarak birbirlerinden ayrıldığı gözlemlenmiştir. Epoksi reçineden kaynaklı meydana gelen çekirdek plaka ayrılışının nedeni kalıplama anında cam elyafın kalıbın yüzeylerine tam olarak nüfus edememesinden kaynaklanmaktadır. Burada boşluklarda biriken epoksi reçine eğilme testi esnasında çekirdek ve plakanın ayrılmasına neden olmuştur.

Plakalardan ayrılan çekirdeklere tekrardan eğilme testi uygulanmıştır. Yapılan test sonucunda çekirdeklerin eğilme rıjilikleri birbirlerine çok yakın çıkmıştır. Piramit yapılı çekirdekte köşe birleşme noktalarında elyaf kopma hasarı gözlemlenmiş, konik yapılı çekirdekte hiçbir hasar gözlemlenmemiş ve son olarak federli konik yapılı çekirdekte ise alt tabakasında hasar meydana geldiği gözlemlenmiştir.

Üretilen kompozit çekirdeklere uygulanan basma testinde ise federli konik yapılı kompozit çekirdeğin dayanımının daha yüksek olduğu gözlemlenmiştir. Basma testi hasarlarının reçine kırılmasından ve fiber kopmasından kaynaklandığı gözlemlenmiştir.

Bu çalışmanın devamında çekirdek-yüzey plakası ayrılması üzerine çalışmalar yapılarak birleştirme bölgeleri iyileştirilebilir.

## **6. KAYNAKLAR**

- A. Basmacı. (2011) Sandviç Kompozit Plaklarda Bağlantı Noktalarının Hasar Analizi  
Dokuz Eylül Üniversitesi Fen Bilimleri Enstitüsü Yüksek Lisans Tezi
- A.C. Manalo, T. Aravinthan, W. Karunasena, (2010) Flexural behaviour of glue-laminated fibre composite sandwich beams. *Composite Structures* 92, 2703–2711
- A.J. Malcom, M.T. Aronson, V.S. Deshpande, H.N.G. Wadley (2013). Compressive response of glass fiber composite sandwich structures. *Composites: Part A* 54, 88–97
- A.K. Haldar, J. Zhou, Z. Guan (2016) . Energy absorbing characteristics of the composite contoured-core sandwich panels. *Materials Today Communications* 8, 156–164
- A.K. Haldar, Z.W. Guan, W.J. Cantwell, Q.Y. Wang (2018). The compressive properties of sandwich structures based on an egg-box core design. *Composites Part B* 144, 143–152
- Anne-Marie Harte, Norman A. Fleck, Michael F. Ashby (2000). Energy absorption of foam-filled circular tubes with braided composite walls. *Eur. J. Mech. A/Solids* 19, 31–50
- A.R. Akisanya, N.A. Fleck (2006) Plastic collapse of thin-walled frusta and egg-box material under shear and normal loading
- A. Tortoç (2009) Balsa / Pvc Sandviç Yapılarında Kırılma Tokluğu Etkisinin Nümerik Çalışması  
Dokuz Eylül Üniversitesi Fen Bilimleri Enstitüsü Yüksek Lisans Tezi
- A. Uzal, F. O. Sönmez, F. E. Öz, K. Çınar, N. Ersoy (2014). A composite sandwich plate with a novel core design. *Composite Structures* 193, 198-211.
- Denis D. Cartie, Norman A. Fleck (2003). The effect of pin reinforcement upon the through-thickness compressive strength of foam-cored sandwich panels. *Composites Science and Technology* 63, 2401–2409
- Fan H.L, Meng F:H, Yang W. (2007) sandwich panels with Kagome lattice cores reinforced by carbon fibers. *Composite Structures*, 81,533-539
- Fan H.L,Qu Z. Xia Z. Sun F. (2014) Desining and compession behaviours of ductile hierarchical pyramidal lattice composites. *Materials and Desing*, 58, 363-367
- Guo-dong Xu, Zhi-hai Wang, Tao Zeng, Su Cheng, Dai-ning Fang (2018). Mechanical response of carbon/epoxy composite sandwich structures with three-dimensional corrugated cores. *Composites Science and Technology* 156, 296-304
- H. Hamada, K. Kameo, M. Sakaguchi, H. Saito, M. Iwamoto (2000). Energy-absorption properties of braided composite rods. *Composites Science and Technology* 60, 723-729
- Jin Dai, H. Thomas Hahn, (2003) Flexural behavior of sandwich beams fabricated by vacuum-assisted resin transfer molding. *Composite Structures* 61, 247–253
- J.G. Chung, S.H. Chang, M.P. F. Sutcliffe, (2007) Deformation and energy absorption of composite egg-box panels. *Composites Science and Technology* 67, 2342–2349
- J. Zhou, Z.W. Guan, W.J. Cantwell (2016). Scaling effects in the mechanical response of sandwich structures based on corrugated composite coresComposites Part B 93, 88-96

- J. Zhou, Z. Guan, W.J. Cantwell (2018). The energy-absorbing behaviour of composite tube-reinforced foams. *Composites Part B* 139, 227–237
- M. Mohamed, S. Anandan, Z. Huo, V. Birman, J. Volz, K. Chandrashekara (2014) Manufacturing and characterization of polyurethane based sandwich composite structures. *Composite Structures* 123, 169–179
- Marc Zupana, C. Chen, N.A. Fleck (2003). The plastic collapse and energy absorption capacity of egg-box panels. *International Journal of Mechanical Sciences* 45, 851–871
- S.W. Lam, X.M. Tao, T.X. Yu (2004). Comparison of different thermoplastic cellular textile composites on their energy absorption capacity. *Composites Science and Technology* 64, 2177–2184
- Seong Hwan Yoo, Seung Hwan Chang (2008). An experimental study on energy absorbing structures made of fabric composites. *Composite Structures* 86, 211–219
- S.H. Yoo, S.H. Chang, M.P. F. Sutcliffe (2010). Compressive characteristics of foam-filled composite egg-box sandwich panels as energy absorbing structures. *Composites: Part A* 41, 427–434
- Soraia Pimenta, Paul Robinson (2014) Wavy-ply sandwich with composite skins and crushable core for ductility and energy absorption. *Composite Structures* 116 364–376
- T.X. Yu, X.M. Tao, P. Xue (2000) . The energy-absorbing capacity of grid-domed textile composites. *Composites Science and Technology* 60, 785-800
- U. Potoğlu (2012) Sandviç kompozit plakaların darbe davranışları Dokuz Eylül Üniversitesi Fen Bilimleri Enstitüsü Yüksek Lisans Tezi
- V.S. Deshpande, N.A. Fleck (2003). Energy absorption of an egg-box material. *Journal of the Mechanics and Physics of Solids* 51, 187–208
- Z. Cui, G. Moltschanivskyj, D. Bhattacharyya (2004). Buckling and large deformation behaviour of composite domes compressed between rigid platens. *Composite Structures* 66, 591–599

## **7. ÖZGEÇMİŞ**

1986 yılında İstanbul'da doğdu. Lise öğrenimini 2003 yılında Şair Abay Konanbay lisesinde tamamladı. 2008 yılında Süleyman Demirel Üniversitesi Makine Tasarım ve Konstrüksiyon Öğretmenliği Bölümünden mezun oldu. 2015 Namık Kemal Üniversitesi Makine Mühendisliği Bölümünden mezun oldu. 2015 yılında Namık Kemal Üniversitesi Fen Bilimleri Enstitüsü Makine Mühendisliği Anabilim Dalında Yüksek Lisans Eğitimi'ne başladı. 2011 yılından bu yana Uzay Makine A.Ş. Ar-Ge departmanında çalışmaktadır.